

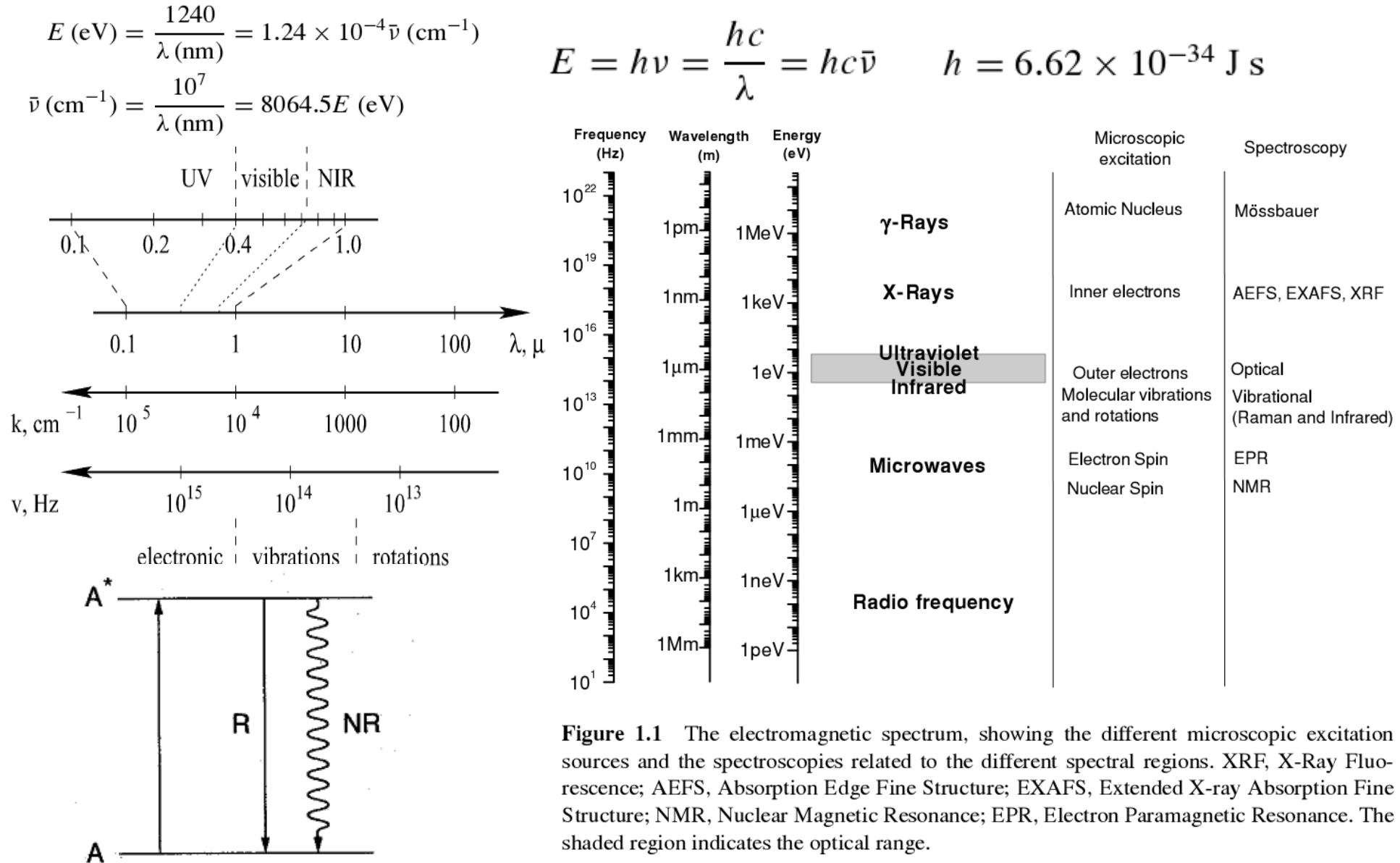
# Люминесцентные материалы

Заключительная лекция

# План лекции

- Фотолюминесценция
- Люминофоры для белых светодиодов
- Наноразмерные люминофоры

# Оптическая спектроскопия

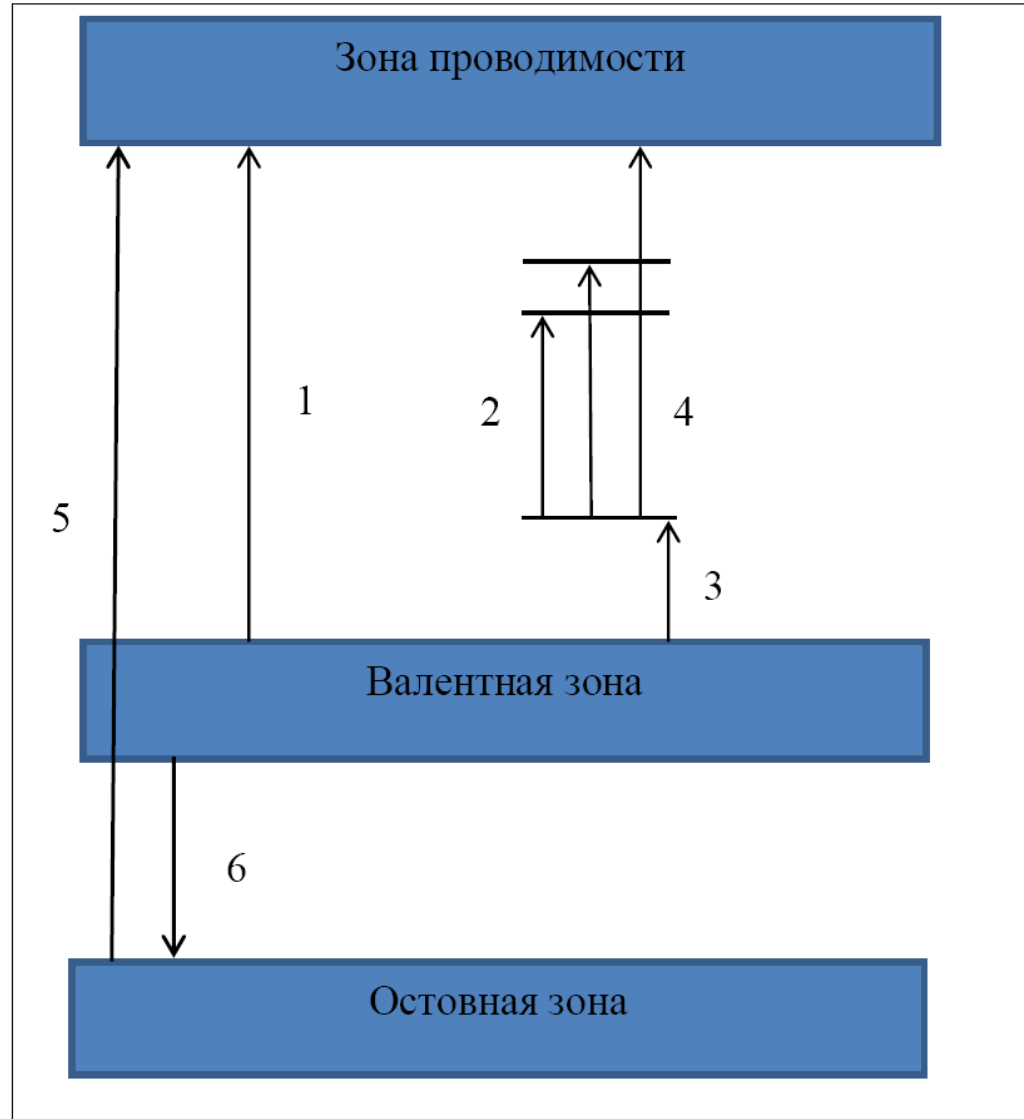


**Figure 1.1** The electromagnetic spectrum, showing the different microscopic excitation sources and the spectroscopies related to the different spectral regions. XRF, X-Ray Fluorescence; AEFS, Absorption Edge Fine Structure; EXAFS, Extended X-ray Absorption Fine Structure; NMR, Nuclear Magnetic Resonance; EPR, Electron Paramagnetic Resonance. The shaded region indicates the optical range.

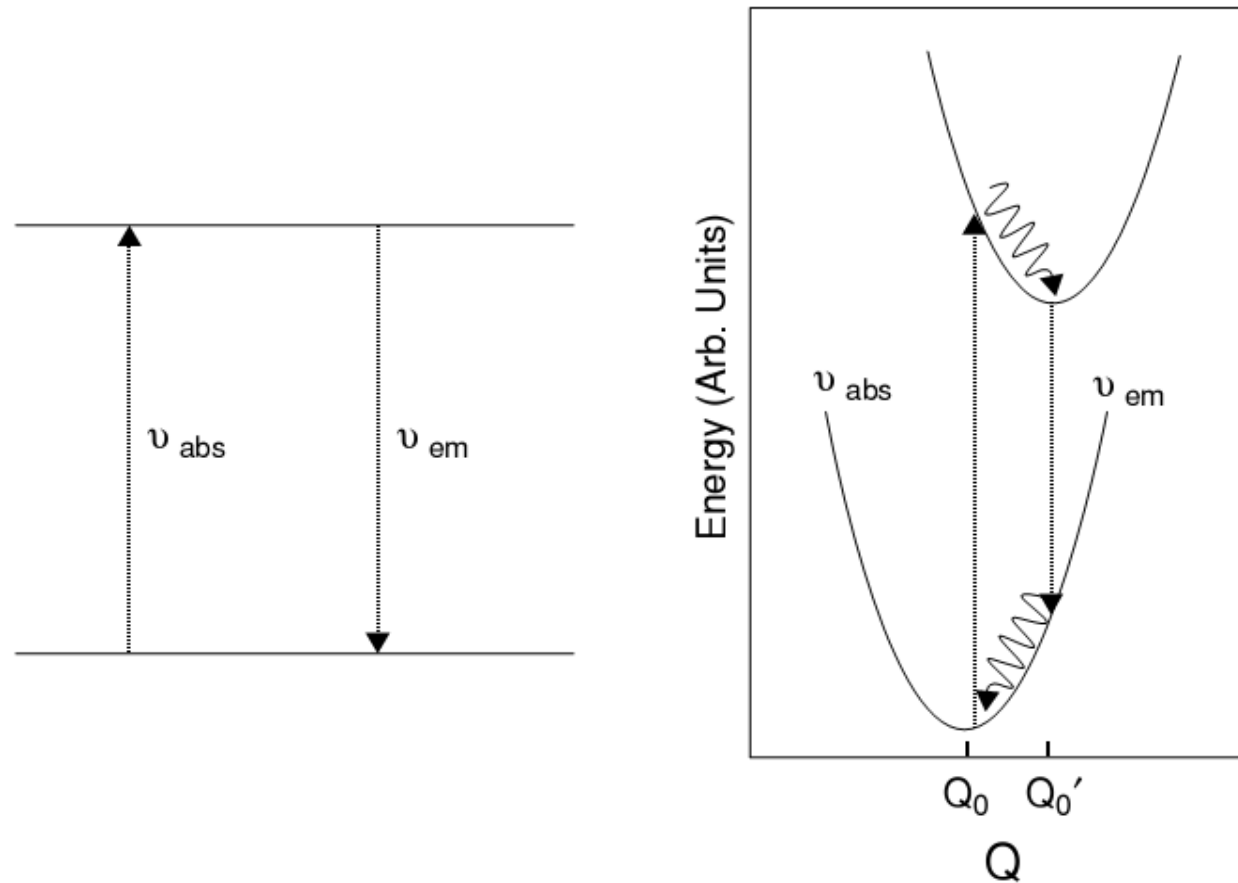
# Типы переходов в кристаллах

Основные типы переходов в диэлектрических кристаллах.

- 1 – межзонные переходы,
- 2 – внутрицентровые переходы,
- 3 – переходы с переносом заряда,
- 4 – фотоионизация,
- 5 – переходы с верхней основной зоны в зону проводимости,
- 6 – кросслюминесценция (основно-валентные переходы)



# Двухуровневый центр в конденсированном веществе



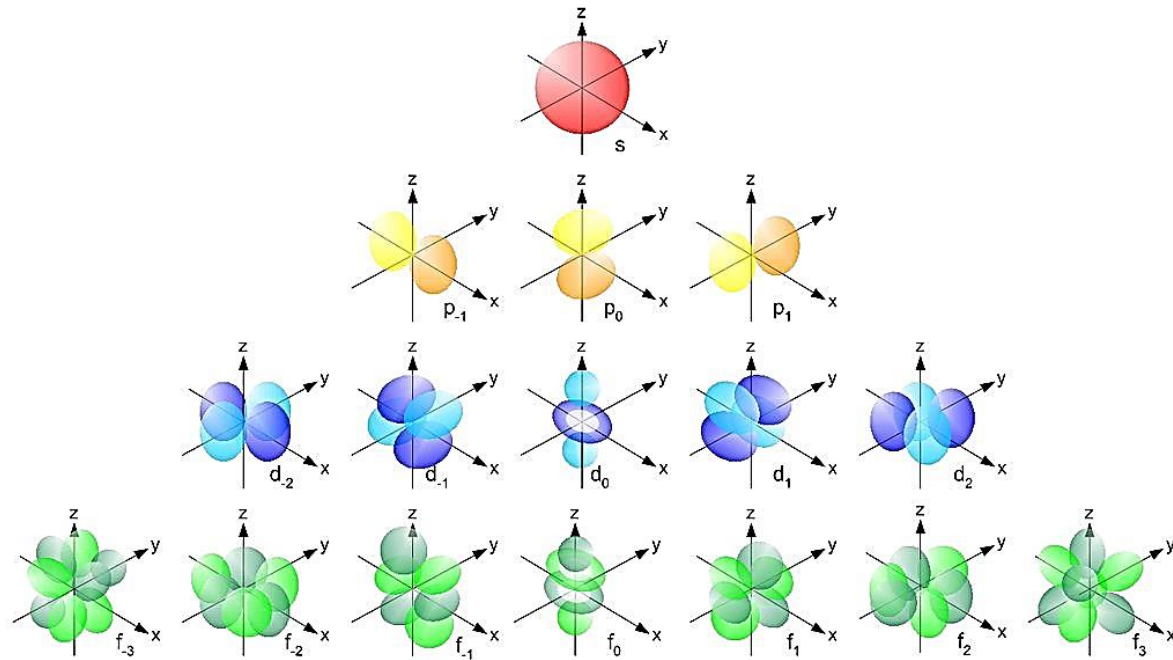
**Figure 1.10** (a) The absorption and emission energies for a two-level system (rigid lattice).  
(b) The absorption and emission energies showing the Stokes shift (vibrating lattice).

# Люминесценция

**Table 1.2** The various types of luminescence

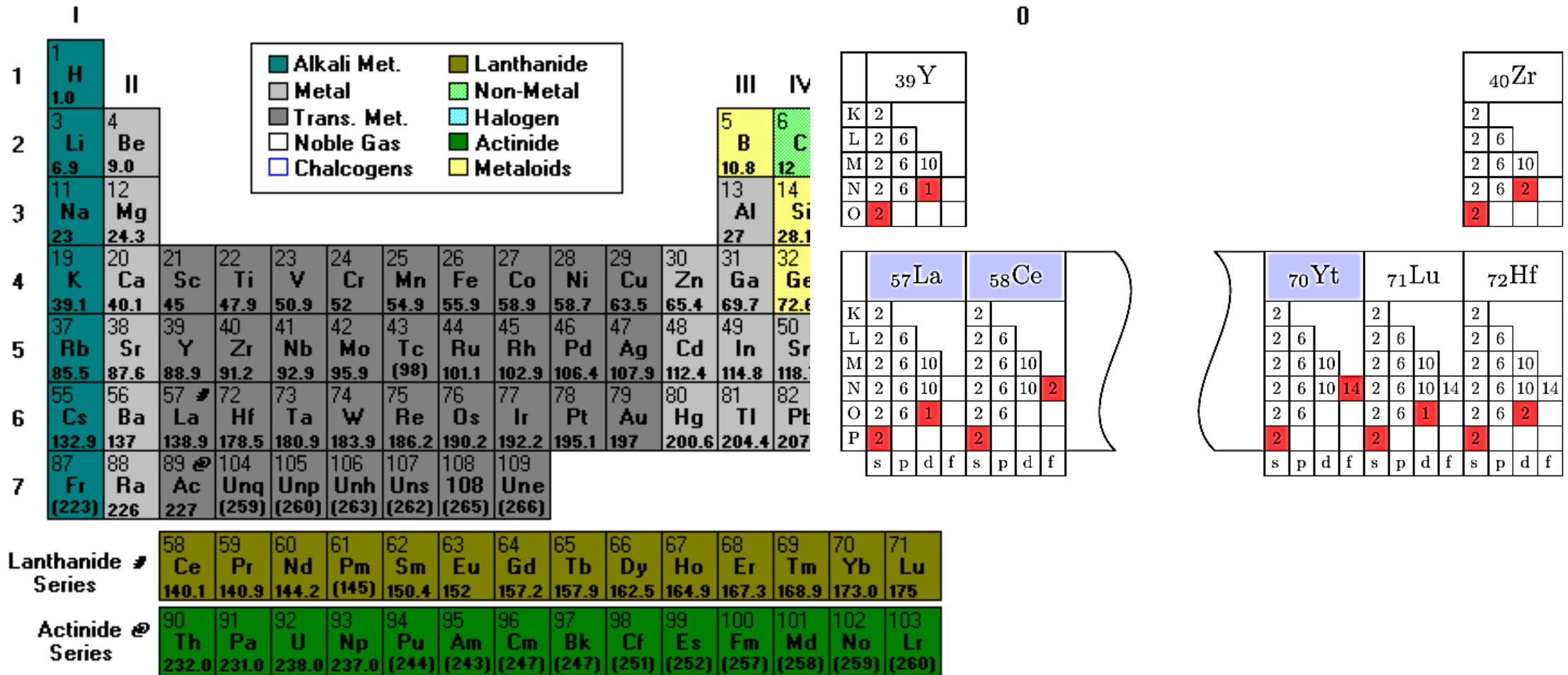
Name	Excitation mechanism
Photoluminescence	Light
Cathodoluminescence	Electrons
Radioluminescence	X-rays, $\alpha$ -, $\beta$ -, or $\gamma$ -rays
Thermoluminescence	Heating
Electroluminescence	Electric field or current
Triboluminescence	Mechanical energy
Sonoluminescence	Sound waves in liquids
Chemiluminescence and bioluminescence	Chemical reactions

# Атомные орбитали



Формы s-, p-, d-, f- орбиталей в атоме водорода

# Люминофоры для белых светодиодов





# Люминофоры для белых светодиодов

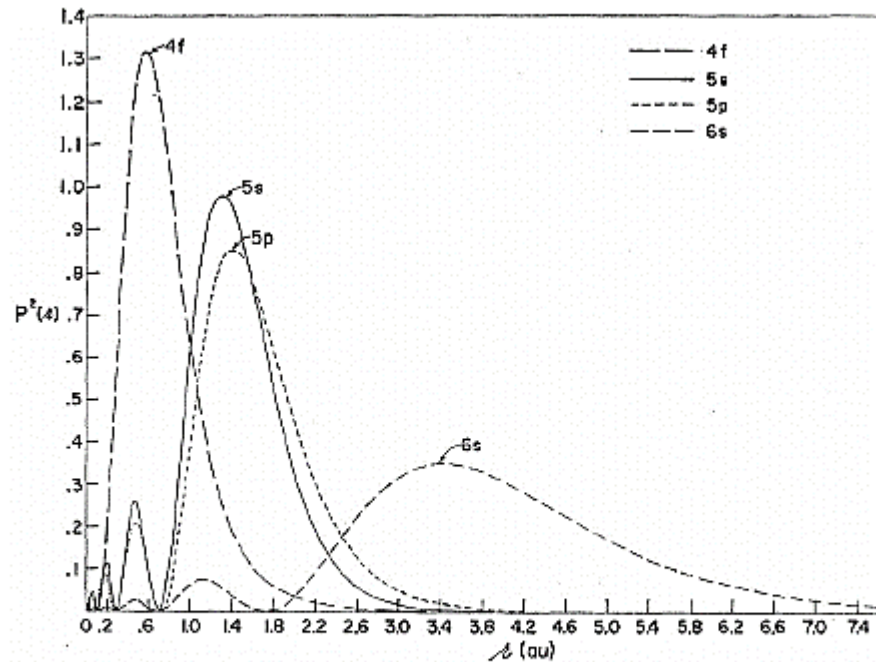
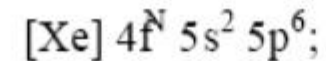


Figure 3.2: A theoretical prediction of the radial distribution of the orbitals of a rare-earth ion ( $Gd^+$ ). The  $4f$  orbital is seen to lie inside the  $5s$  and  $5p$  orbitals. Illustration from Ref. [28].

Редкоземельные ионы в материалах имеют валентность 2+, 3+ и 4+. Происходит заполнение экранированной  $4f$  оболочки.

В трехвалентном состоянии La и Lu имеют закрытую  $f$ -оболочку



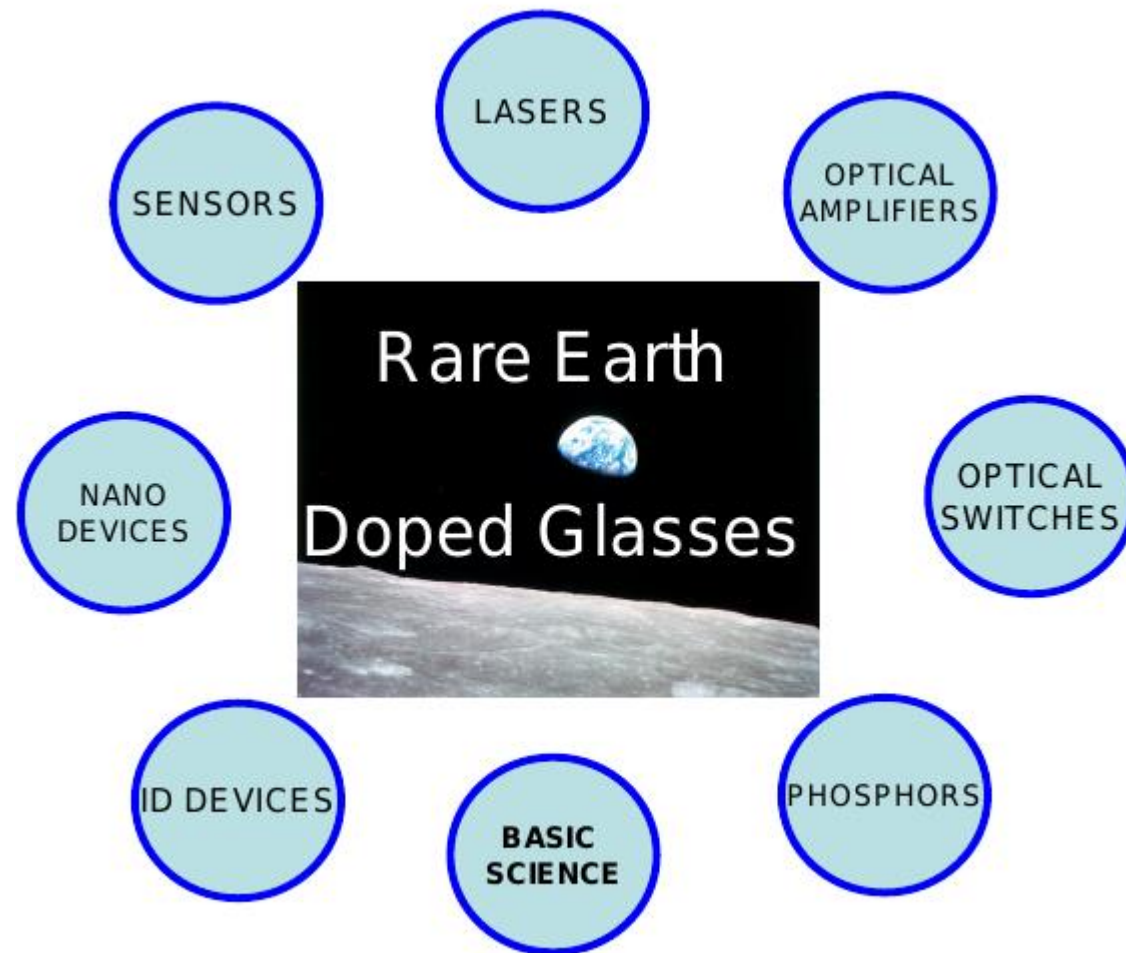
L	57	58	59	60	61	62	63	64	65	66	67	68	69	70	71
	La	Ce	Pr	Nd	Pm	Sm	Eu	Gd	Tb	Dy	Ho	Er	Tm	Yb	Lu

- La and Lu – closed outer shell ( $N = 0$  and  $14$ )
- All the others – outer shell  $4f$  partially filled

# Люминофоры для белых светодиодов

Element	Symbol	Atomic no.	Atomic wt.	Electronic state	Fundamental State	Ionic radius (Å)
Cerium	Ce	58	140,12	[Xe]4f <sup>1</sup> 5s <sup>2</sup> 5p <sup>6</sup>	<sup>2</sup> F <sub>5/2</sub>	1.11
Praseodymium	Pr	59	140,98	[Xe]4f <sup>2</sup> 5s <sup>2</sup> 5p <sup>6</sup>	<sup>3</sup> H <sub>4</sub>	1.09
Neodymium	Nd	60	144,24	[Xe]4f <sup>3</sup> 5s <sup>2</sup> 5p <sup>6</sup>	<sup>4</sup> I <sub>9/2</sub>	1.08
Promethium	Pm	61	145	[Xe]4f <sup>4</sup> 5s <sup>2</sup> 5p <sup>6</sup>	<sup>5</sup> I <sub>4</sub>	1.06
Samarium	Sm	62	150,4	[Xe]4f <sup>5</sup> 5s <sup>2</sup> 5p <sup>6</sup>	<sup>6</sup> H <sub>5/2</sub>	1.04
Europium	Eu	63	151,96	[Xe]4f <sup>6</sup> 5s <sup>2</sup> 5p <sup>6</sup>	<sup>7</sup> F <sub>0</sub>	1.03
Gadolinium	Gd	64	157,25	[Xe]4f <sup>7</sup> 5s <sup>2</sup> 5p <sup>6</sup>	<sup>8</sup> S <sub>7/2</sub>	1.02
Terbium	Tb	65	158,93	[Xe]4f <sup>8</sup> 5s <sup>2</sup> 5p <sup>6</sup>	<sup>7</sup> F <sub>6</sub>	1.00
Dysprosium	Dy	66	162,5	[Xe]4f <sup>9</sup> 5s <sup>2</sup> 5p <sup>6</sup>	<sup>6</sup> H <sub>15/2</sub>	0.99
Holmium	Ho	67	164,93	[Xe]4f <sup>10</sup> 5s <sup>2</sup> 5p <sup>6</sup>	<sup>5</sup> I <sub>8</sub>	0.97
Erbium	Er	68	167,26	[Xe]4f <sup>11</sup> 5s <sup>2</sup> 5p <sup>6</sup>	<sup>4</sup> I <sub>15/2</sub>	0.96
Thulium	Tm	69	168,93	[Xe]4f <sup>12</sup> 5s <sup>2</sup> 5p <sup>6</sup>	<sup>3</sup> H <sub>6</sub>	0.95
Ytterbium	Yb	70	173,04	[Xe]4f <sup>13</sup> 5s <sup>2</sup> 5p <sup>6</sup>	<sup>2</sup> F <sub>7/2</sub>	0.94

# Люминофоры для белых светодиодов. Редкоземельные элементы

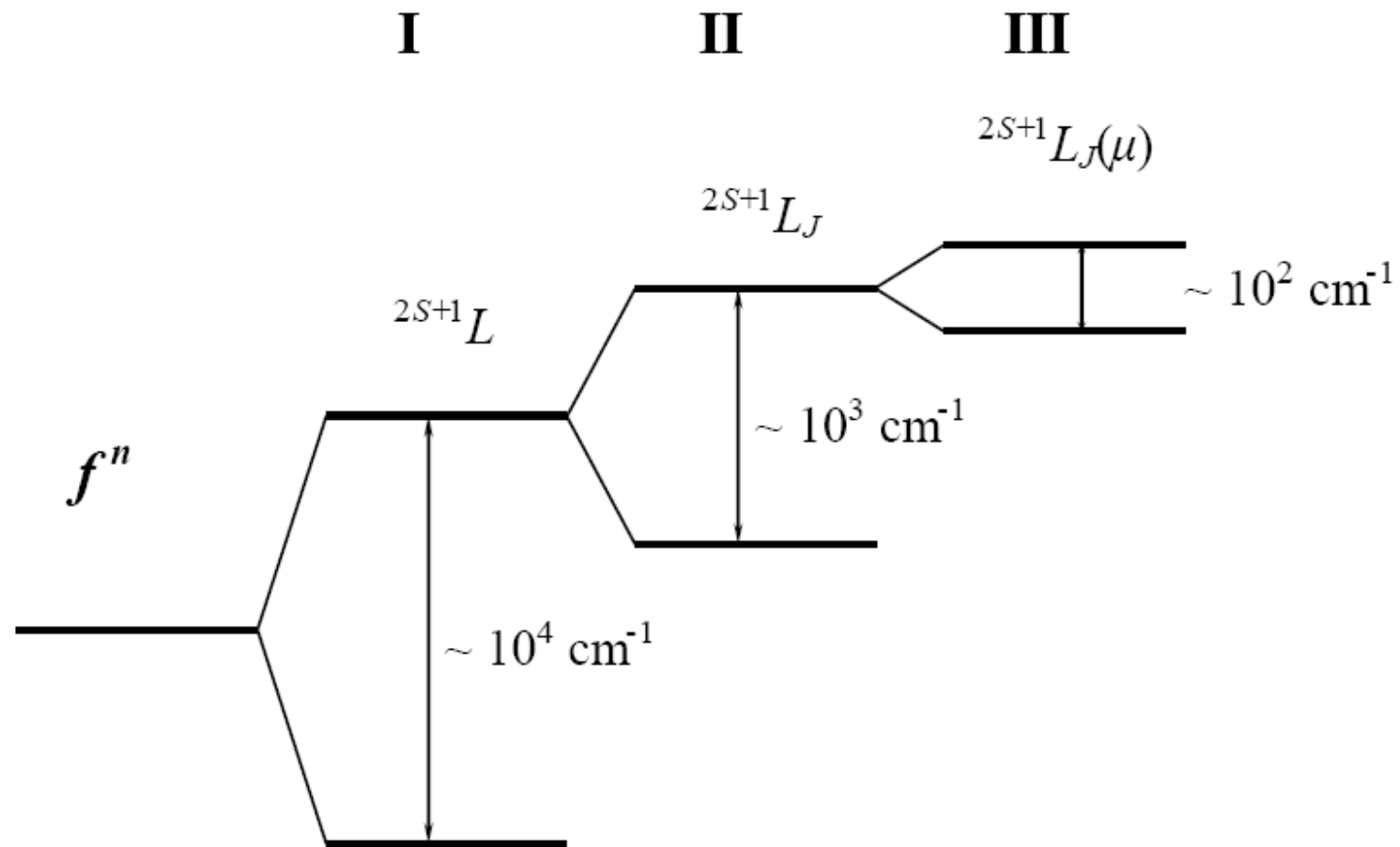


# Квантовые числа

Квантовое число	Разрешенные состояния	Что определяет
Главное, $n$	1, 2, 3 ... $\infty$	Энергию и размер орбитали
Орбитальное, $l$	( $n-1$ ), ( $n-2$ ), .. 0	Форму орбитали и момент количества движения электронов
Магнитное орбитальное, $m_l$	$\pm l, \pm(l-1), \dots 0$	Ориентацию орбитали и поведение электрона в магнитном поле
Спиновое, $s$	1/2	Внутренний момент электрона
Магнитное спиновое, $m_s$	+1/2, -1/2	Ориентацию спина относительно выделенной оси

# Расщепление 4f уровней

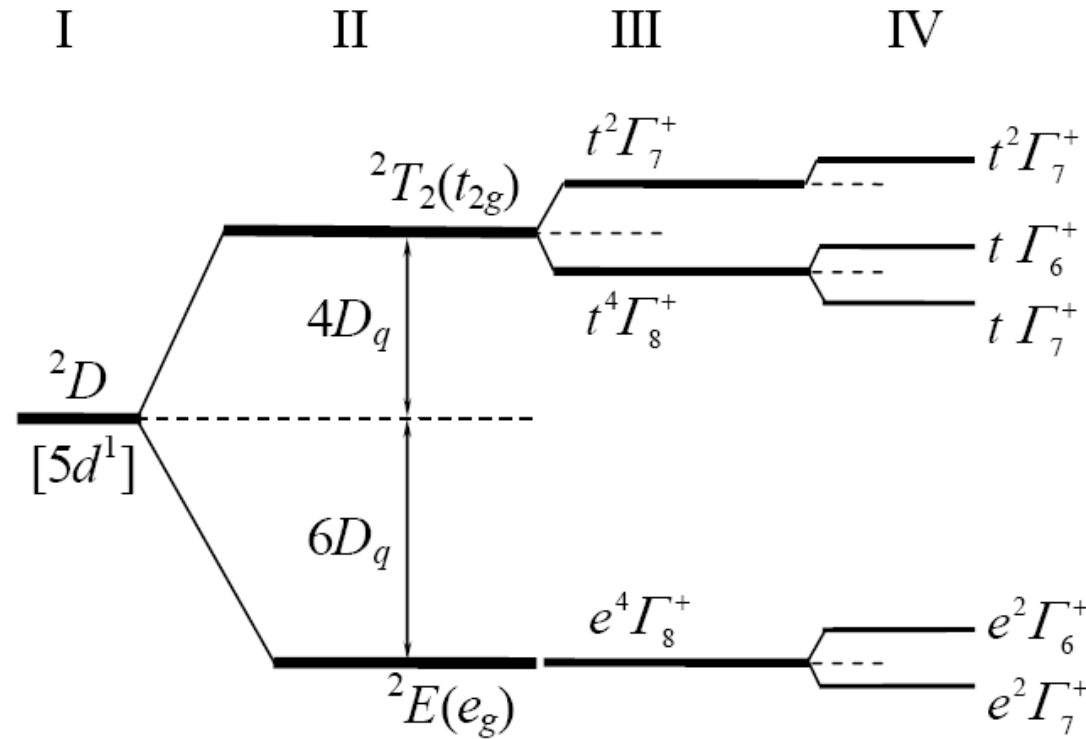
Splitting of energy levels of  $4f^n$  electronic configuration due to: I – Coulomb interaction;  
II – spin-orbit interaction; III – crystal-field interaction



## Crystal field splitting for $4f^{n-1}5d$ electronic configuration

The  $5d$  electrons are not effectively shielded by other electrons, and the crystal field influence on the energy levels of  $4f^{n-1}5d$  electronic configuration is **strong**.

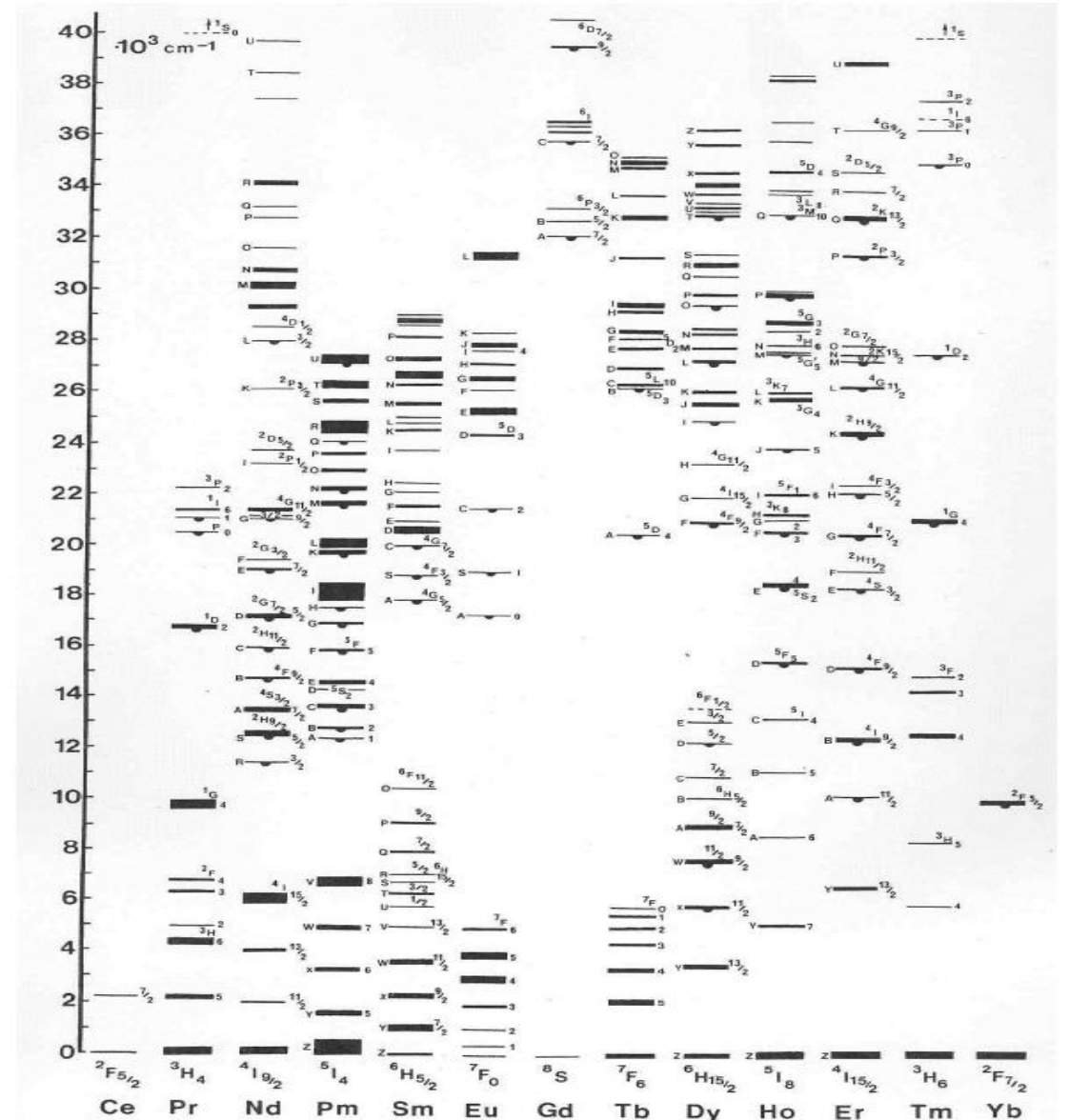
Accordingly, crystal field splitting of  $5d$  levels is large and the energies of levels within  $4f^{n-1}5d$  electronic configuration can strongly differ for different crystal hosts.



Crystal-field splitting of  $5d^1$  configuration for tetragonal  $Ce^{3+}$  center:

I – free ion, II –  $O_h$ , III –  $O_h$  + spin-orbit, IV –  $C_{4v}$

# Спин-орбитальное взаимодействие. Расщепление f-состояния



G. H. Dieke and  
H. M. Crosswhite  
Appl. Opt. 2, 675 (1963)

Рис.4.10. Диаграмма уровней энергии трехвалентных лантаноидов. Знаком полукруга под уровнем обозначены состояния с которых наблюдалось свечение.

# Спектры RE<sup>2+</sup>



0.01 NdF <sub>3</sub>	5.12.2014	0.01 SmF <sub>3</sub>
Ca d=2.16		d=3.43
Str d=2.44		d=2.92
Ba d=2.93		d=3.03

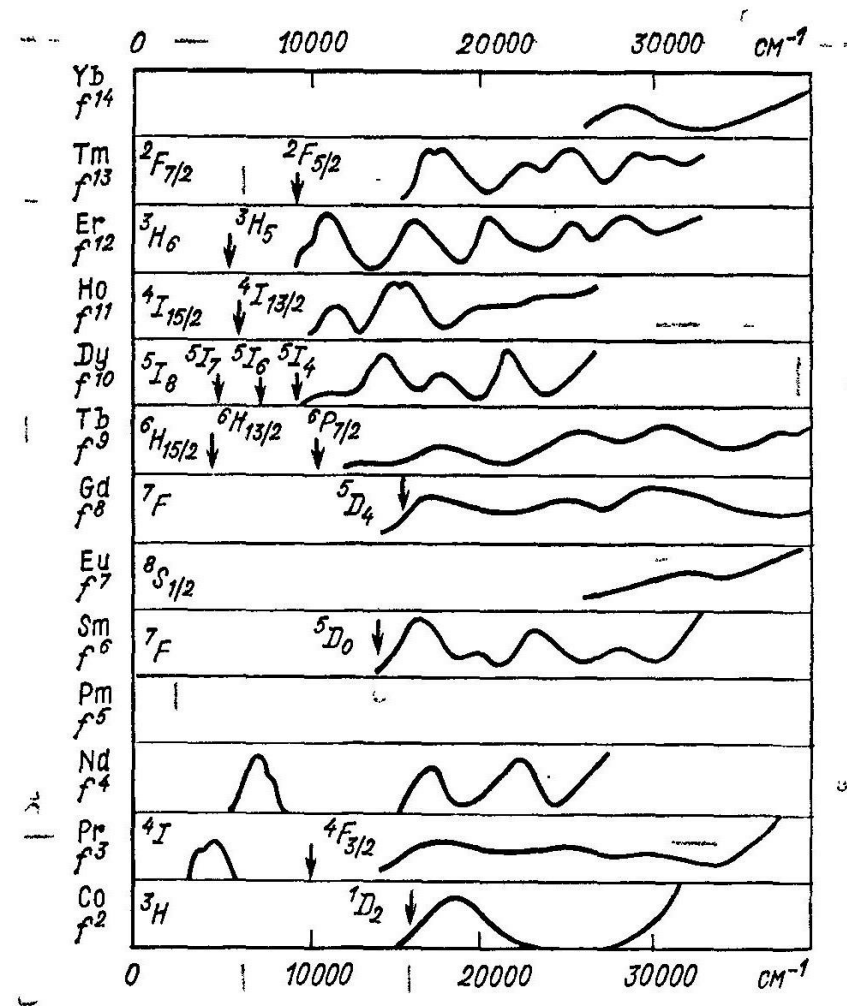


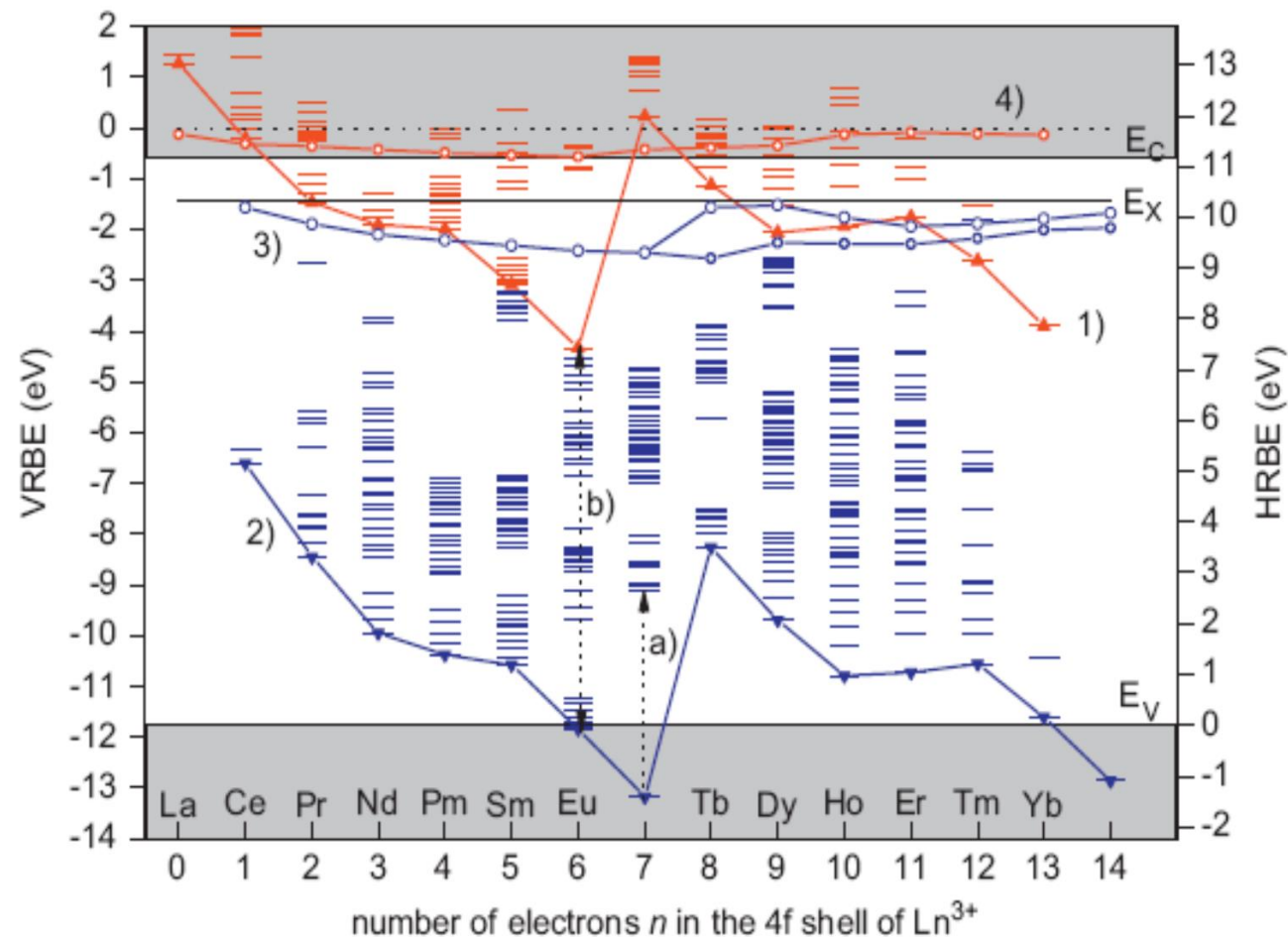
Рис. 33.41. Спектры поглощения ионов двухвалентных редкоземельных элементов в кристалле CaF<sub>2</sub> [6]. Положение переходов  $f \rightarrow f$  указано стрелкой.



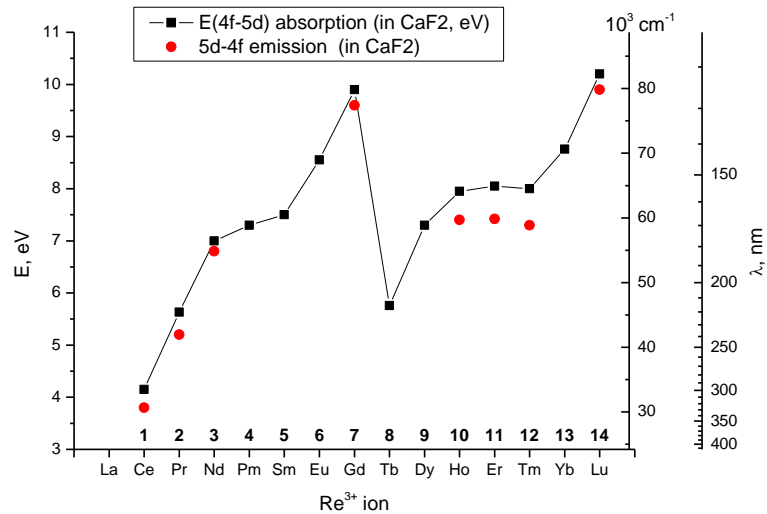
# Уровни лантаноидов в кристалле

Положение основных 4f уровней и наинизших возбужденных 5d-уровней редкоземельных трехвалентных ( $RE^{3+}$ ) и двухвалентных ( $RE^{2+}$ ) ионов в зонной схеме кристалла фторида лантана. Верхняя зона – зона проводимости, нижняя зона – валентная зона.

P.Dorenbos, J. luminescence, 2013, 135, 93-104



# Свечение $\text{Re}^{3+}$ в щелочно-земельных фторидах

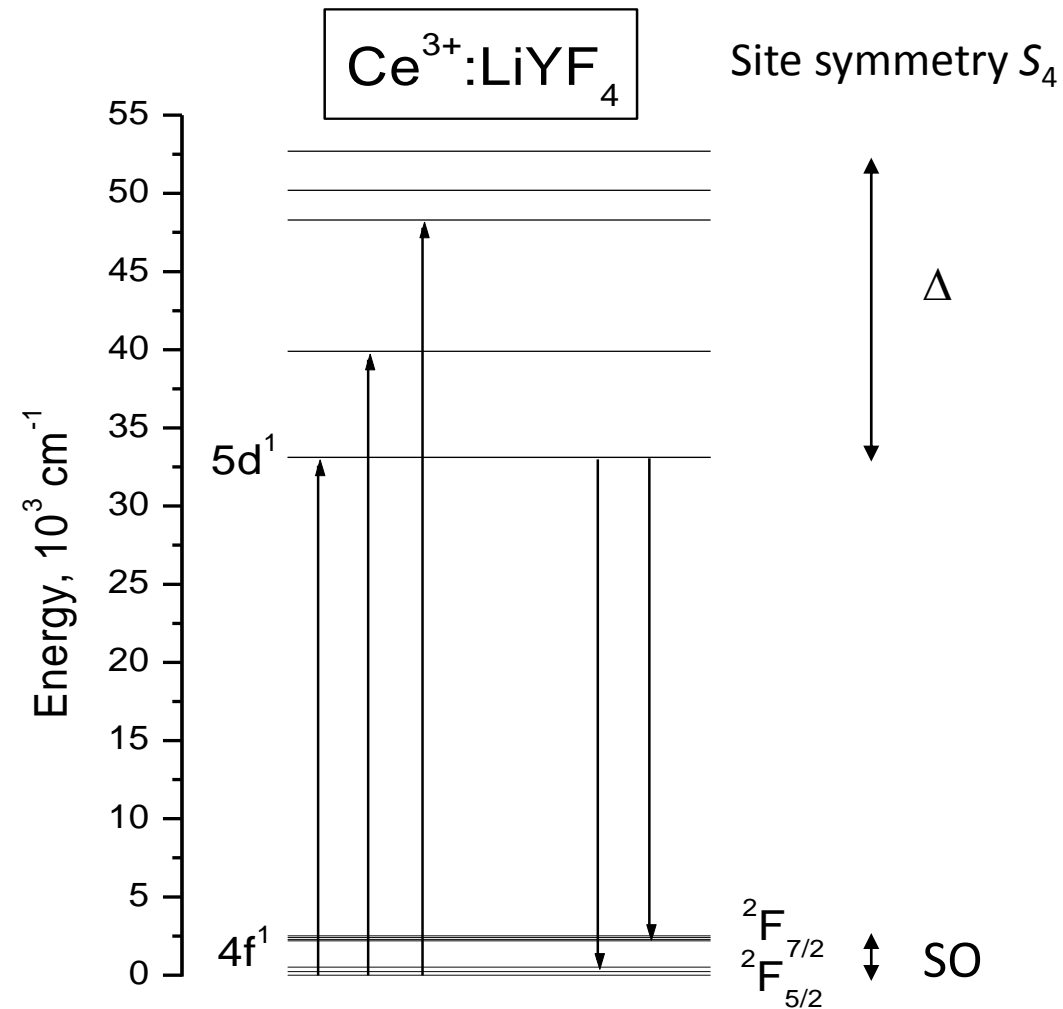
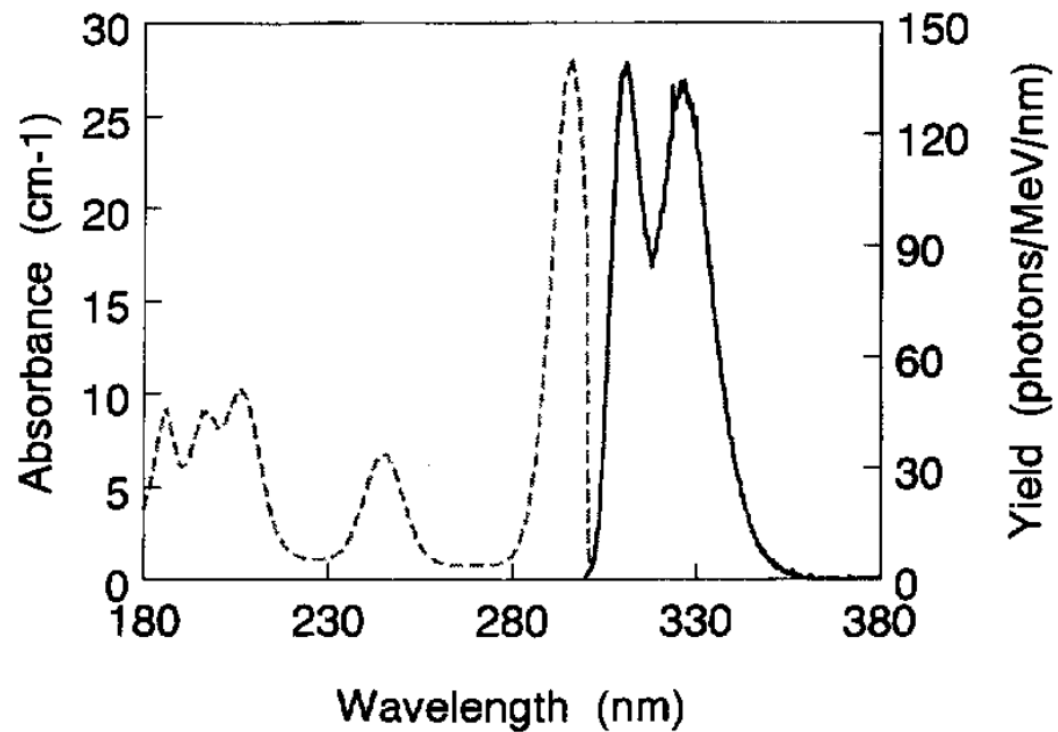


Cryst al	Tm (5d→ <sup>3</sup> H <sub>6</sub> ), nm	Er (5d→ <sup>4</sup> I <sub>15/2</sub> ), nm	Nd (5d→ <sup>4</sup> I <sub>9/2</sub> ), nm	Gd (5d→ <sup>4</sup> I <sub>9/2</sub> ), nm	Ho (5d→ <sup>4</sup> I <sub>9/2</sub> ), nm	Sm (5d→ <sup>4</sup> I <sub>9/2</sub> ), nm
CaF <sub>2</sub>	168,4	166,0	183,9 17.7 ns	128.9 129 [2]	168.5	171.1
SrF <sub>2</sub>	166,4 167 HS[1]	164,2 164.5 HS[1]	180,0 15.3 ns	No	167.2	172.0
BaF <sub>2</sub>	164,6	163,7	179,2 12.3 ns	No	165.9	174.1

1 Ivanovskih et al Journal of Luminescence 122–123 (2007) 28–31

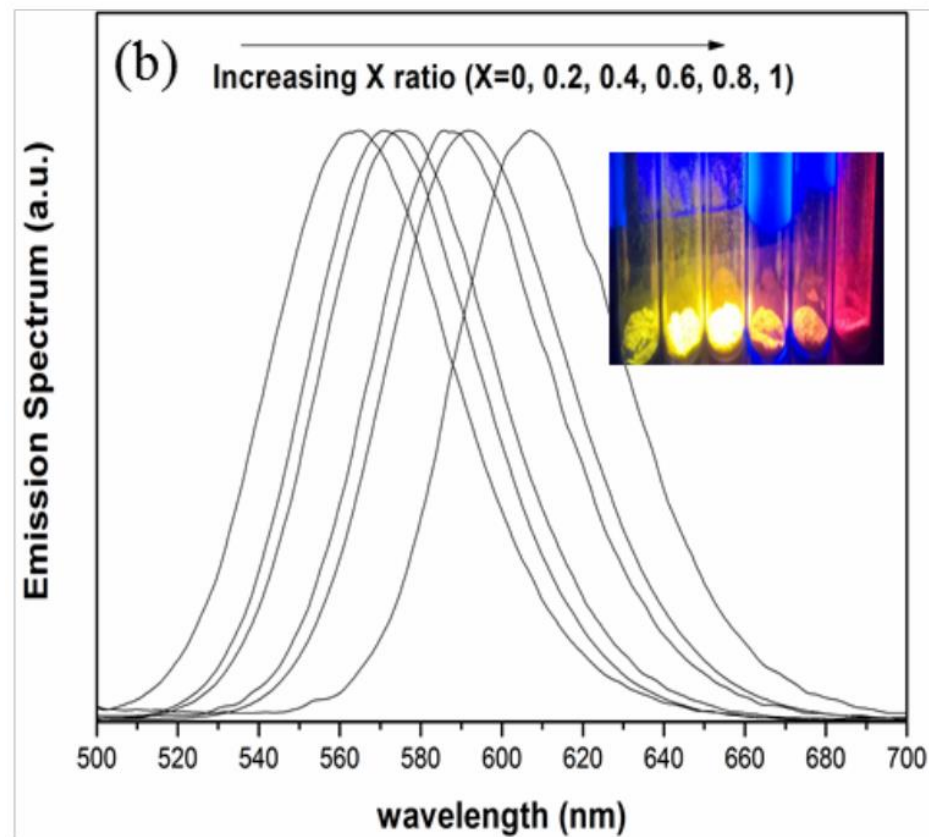
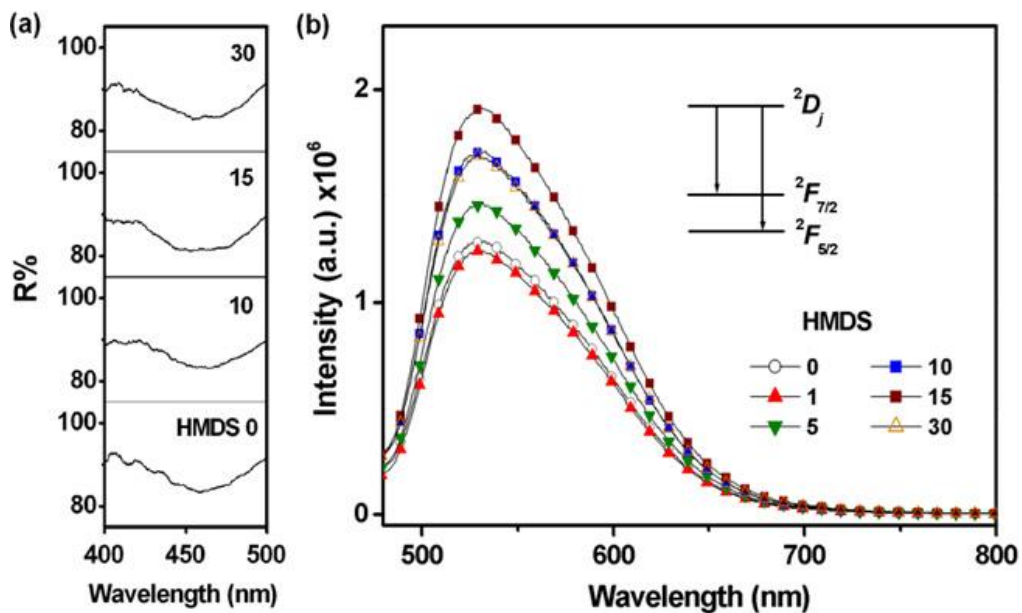
2 V.N.Makhov et.al. ФТТ (2008) 50 1565

## 4f and 5d уровни ионов $\text{Ce}^{3+}$ в тетрагональном окружении

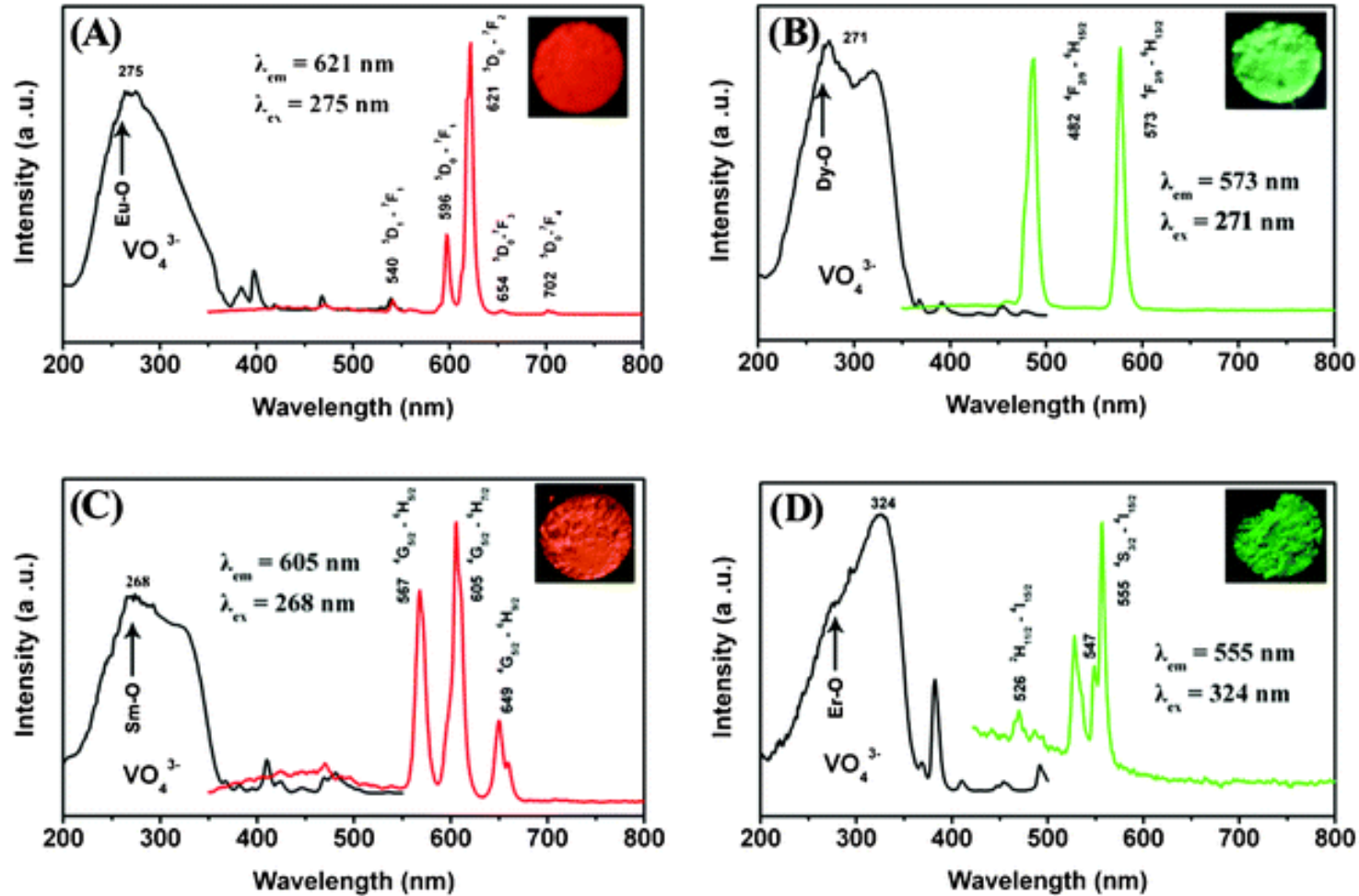


# Люминофоры с редкоземельными ионами

Ионы церия

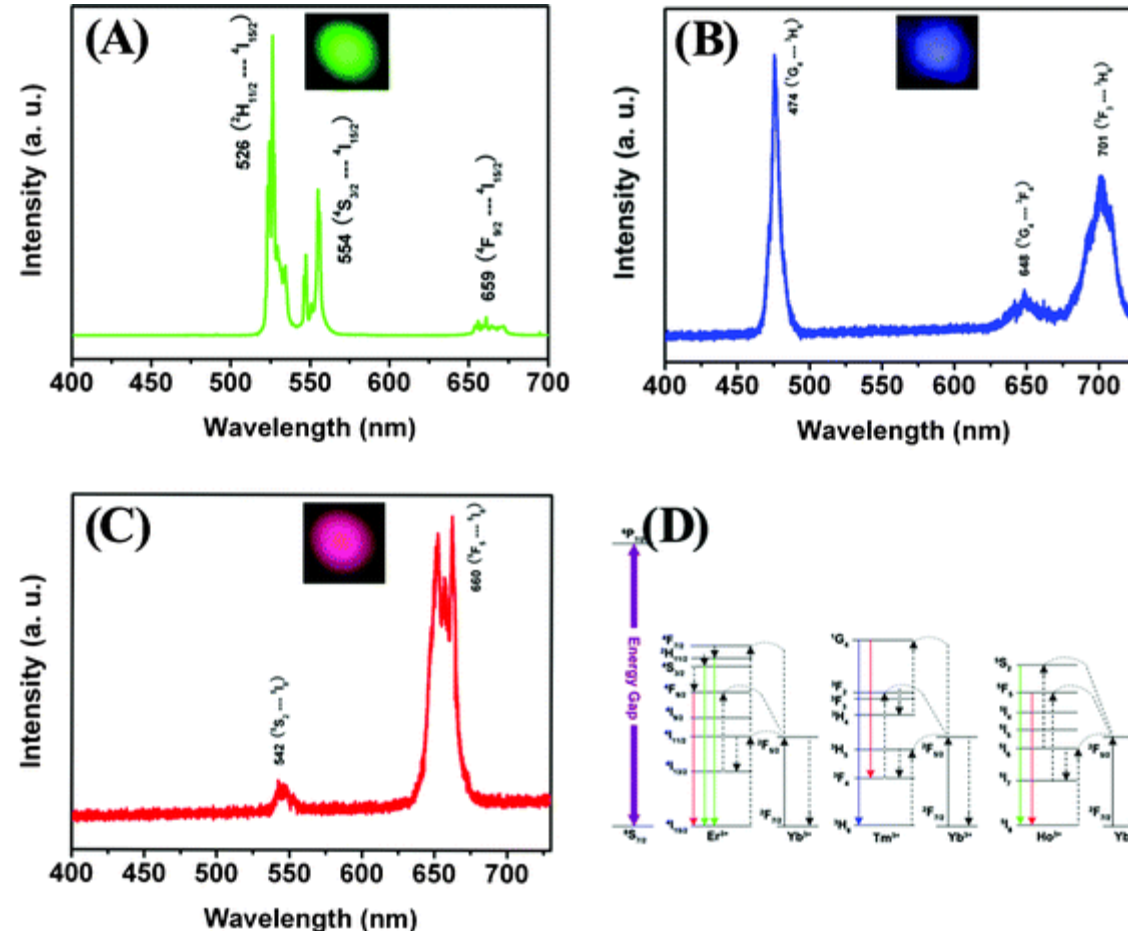


# Люминофоры с редкоземельными ионами



Excitation and emission spectra of LuVO<sub>4</sub>:5 mol% Eu<sup>3+</sup> (A), LuVO<sub>4</sub>:5 mol% Dy<sup>3+</sup> (B), LuVO<sub>4</sub>:5 mol% Sm<sup>3+</sup> (C), and LuVO<sub>4</sub>:5 mol% Er<sup>3+</sup> (D). The insets are the corresponding luminescence photographs of the samples upon excitation at 254 nm with a UV lamp.

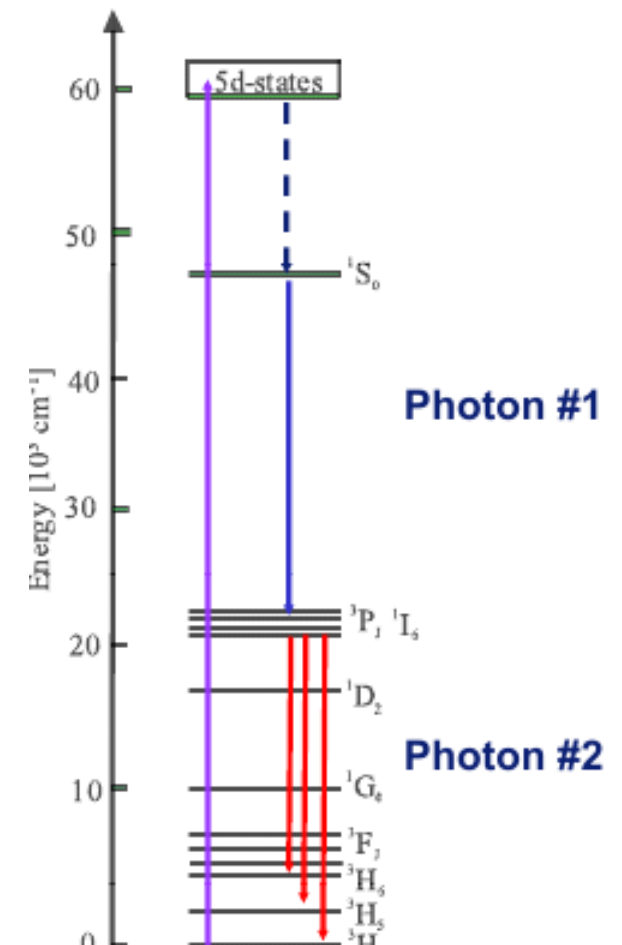
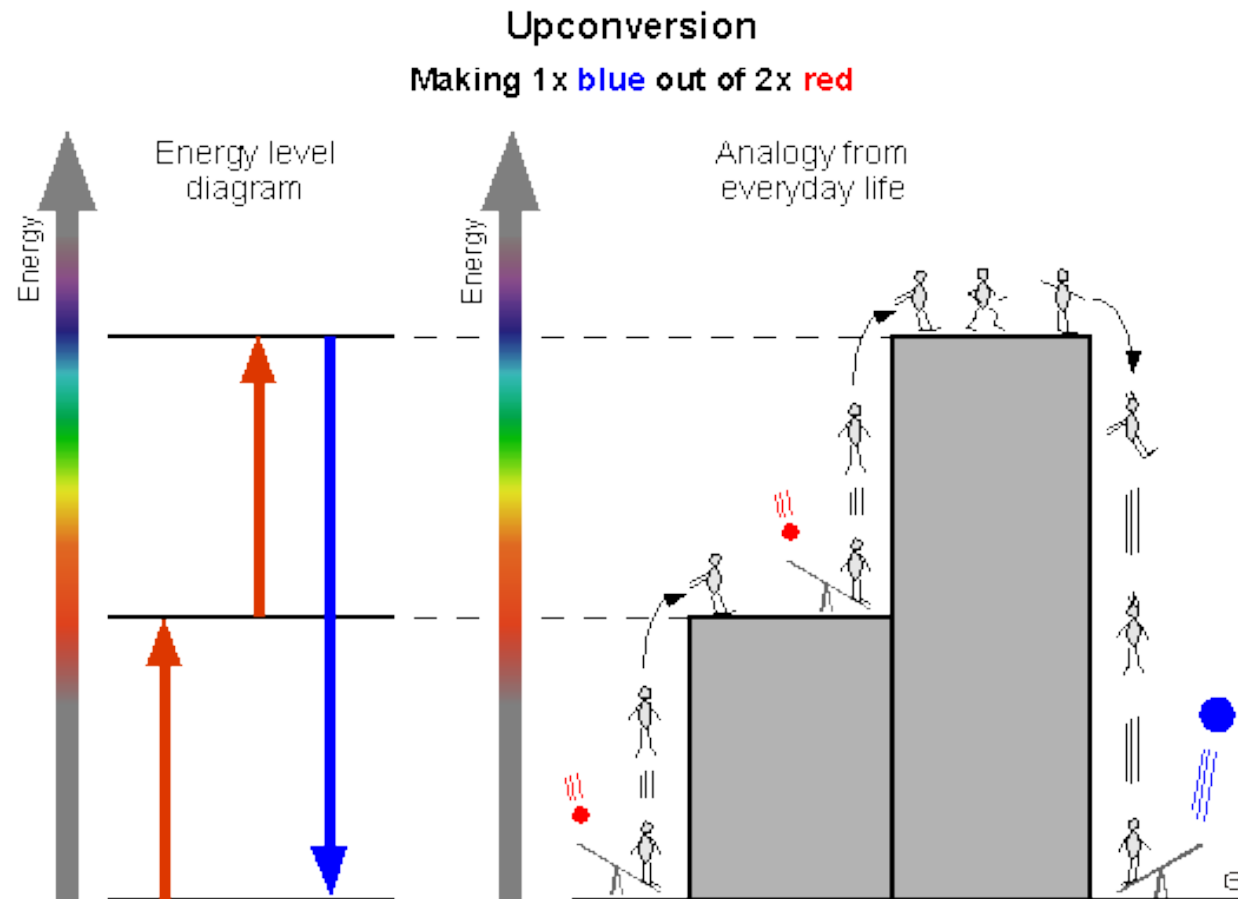
# Люминофоры с редкоземельными ионами



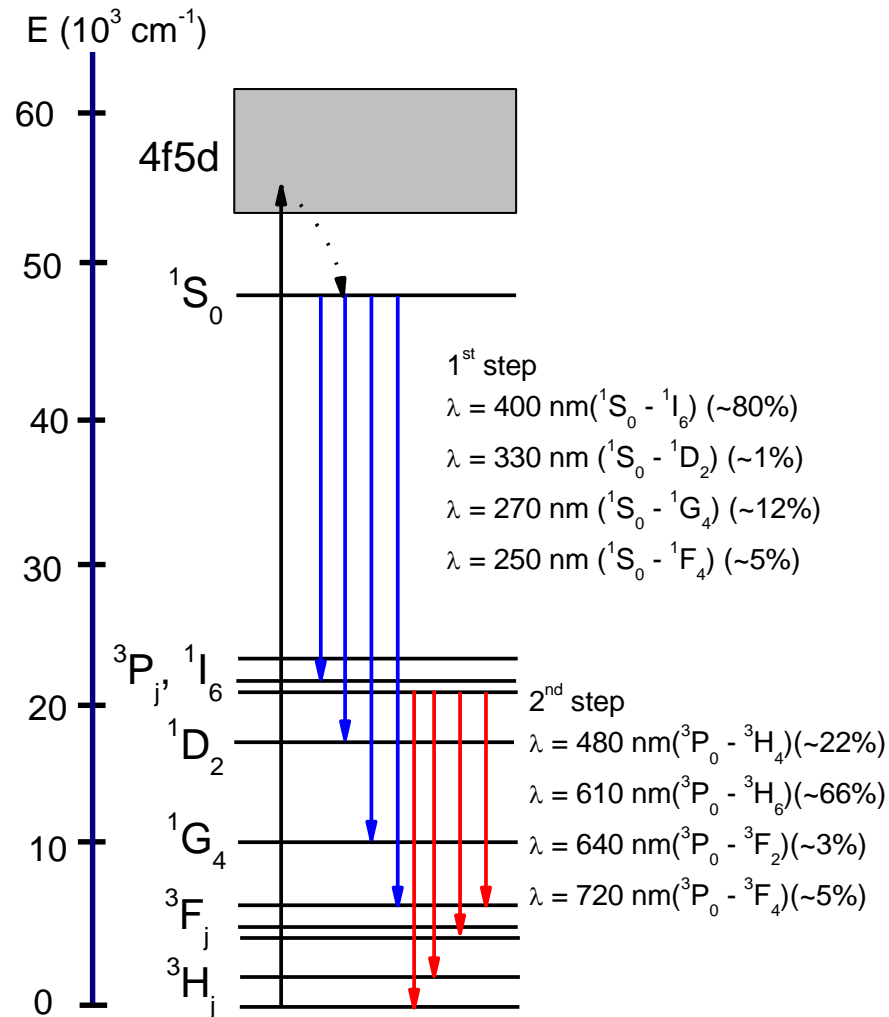
NIR-to-visible UC emission spectra of LuVO<sub>4</sub>:Yb<sup>3+</sup>/Er<sup>3+</sup> (A), LuVO<sub>4</sub>:Yb<sup>3+</sup>/Tm<sup>3+</sup> (B), and LuVO<sub>4</sub>:Yb<sup>3+</sup>/Ho<sup>3+</sup> (C) under 980 nm laser excitation. (D) The proposed energy transfer mechanisms under 980 nm diode laser excitation in LuVO<sub>4</sub>:Yb<sup>3+</sup>/Er<sup>3+</sup>, LuVO<sub>4</sub>:Yb<sup>3+</sup>/Tm<sup>3+</sup>, and LuVO<sub>4</sub>:Yb<sup>3+</sup>/Ho<sup>3+</sup>. The insets are the corresponding luminescence photographs of the samples upon excitation at 980 nm light.

# Люминофоры с редкоземельными ионами. Upconversion and cascade emission

Квантовый выход больше 1



# Каскадное свечение $\text{Pr}^{3+}$ в кристалле $\text{YF}_3$



$\text{Pr}^{3+}$  ion

Configuration –  $4f^2$

Singlet  $1S_0, 1D_2, 1G_4, 1I_6$

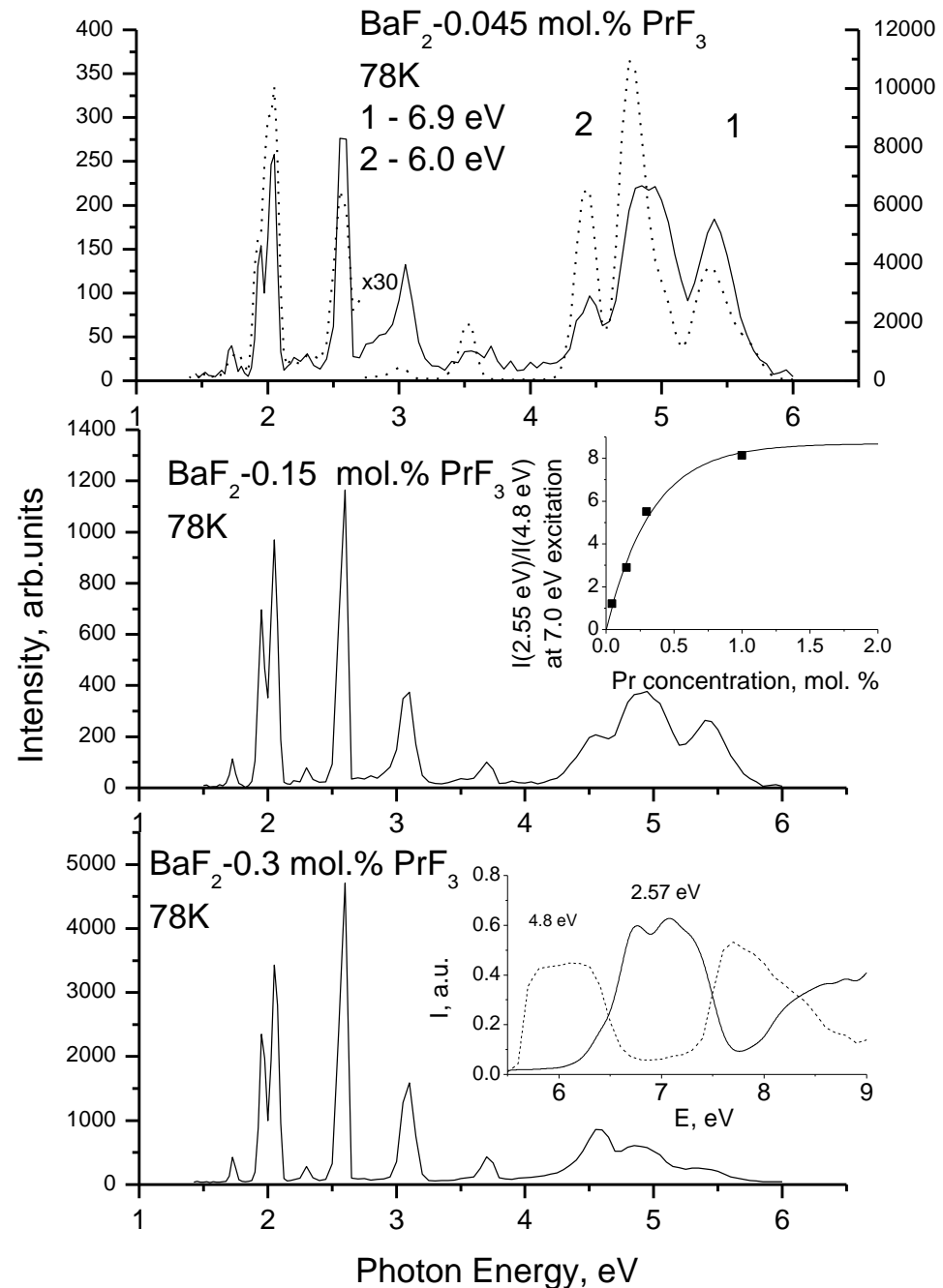
Triplet  $3P_{0,1,2}, 3F_{2,3,4}, 3H_{4,5,6}$

Energy-level scheme of  $\text{Pr}^{3+}$  in  $\text{YF}_3$ . The transition branching ratios for the main transitions of the cascade are also given (from S.Kusk, et.al. PHYSICAL REVIEW B 71, 165112 (2005))

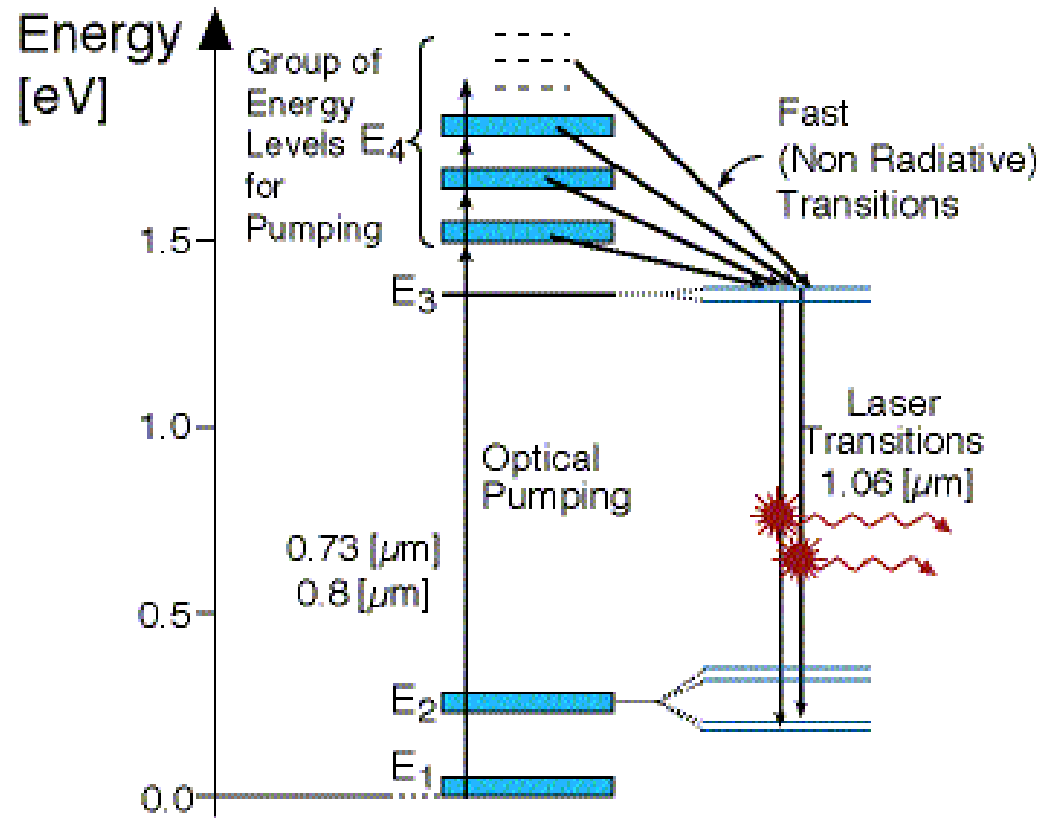


# Emission BaF<sub>2</sub>

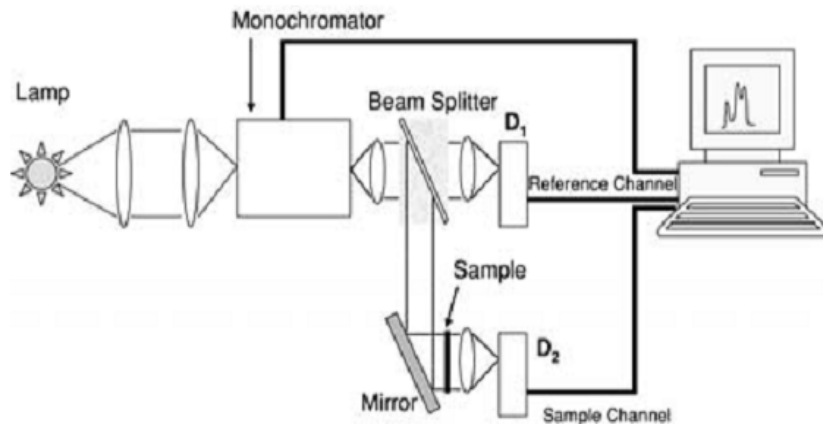
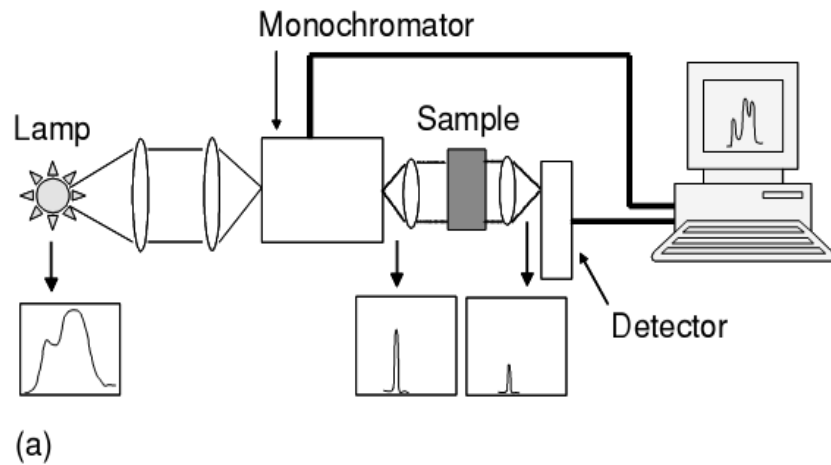
Emission spectra of BaF<sub>2</sub> crystal doped by PrF<sub>3</sub> at 78 K. Samples were excited at 6.9 eV (full curves) or at 6.0 eV (dotted curve). Middle right inset – Pr concentration dependence of intensities I(2.5 eV)/I(4.8 eV) ratio at 6.9 eV excitation at 78 K. Bottom right inset - excitation spectra of BaF<sub>2</sub>-0.3 mol.% PrF<sub>3</sub> for emission bands at 2.57 and 4.8 eV at temperature 78 K. No measurable emission was observed in BaF<sub>2</sub>-0.015 % PrF<sub>3</sub> under 7.0 eV excitation at 90 K.



# Свечение Nd<sup>3+</sup>. Nd-YAG лазеры

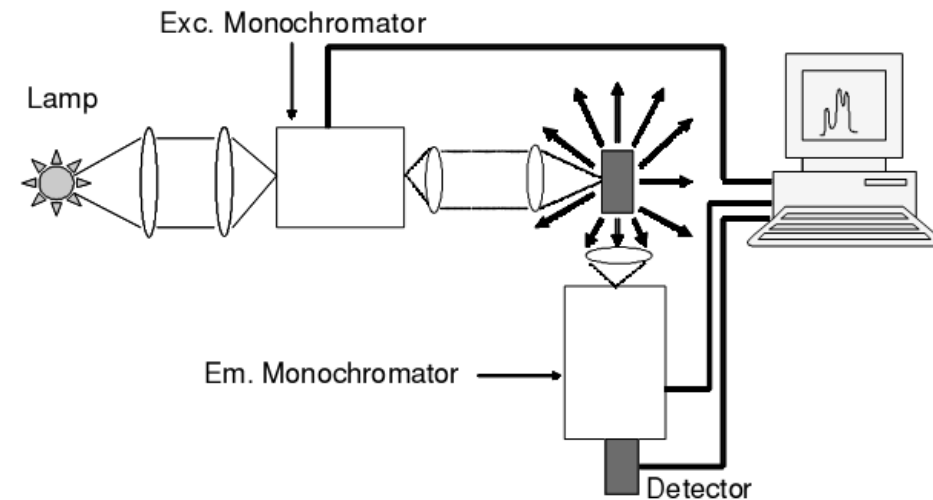


# Измерение спектров



$$T = I/I_0.$$

$$OD = \log(I_0/I),$$

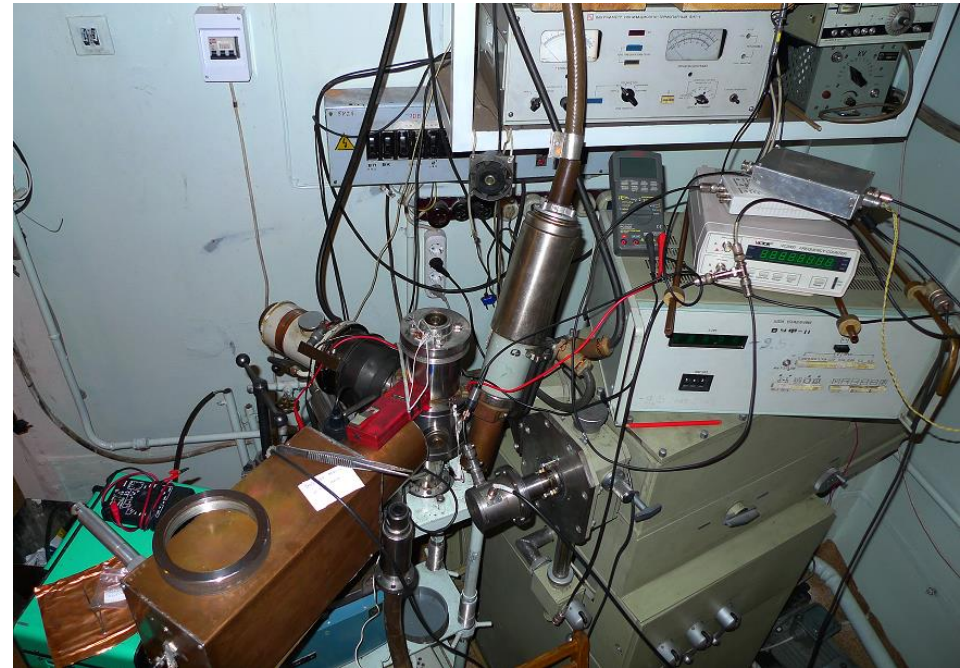
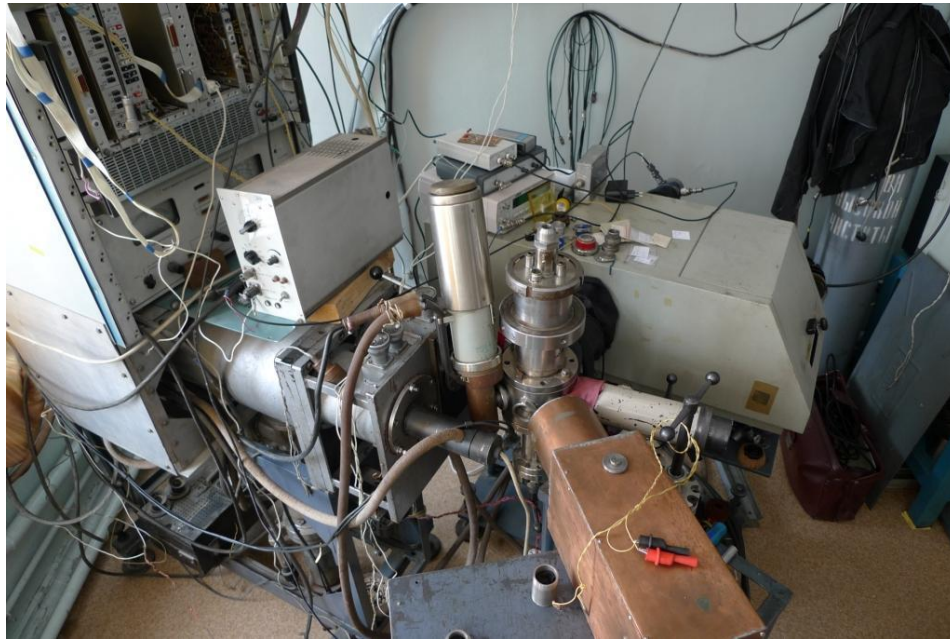


$$I_{em} = \eta(I_0 - I)$$

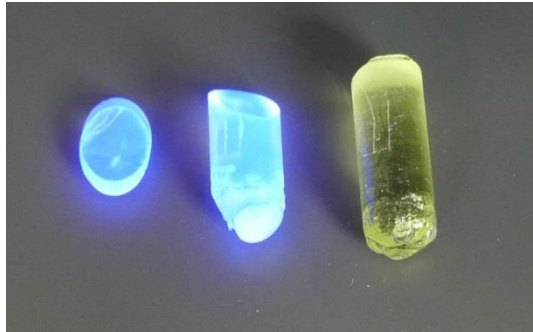
$$(I_{em}) = k_g \times \eta \times I_0(1 - 10^{-(OD)})$$

$$(I_{em}) \cong k_g \times \eta \times I_0 \times (OD)$$

# Спектрометры вакуумного ультрафиолета



$\text{CaF}_2$  -0.1 моль.%  $\text{EuF}_3$

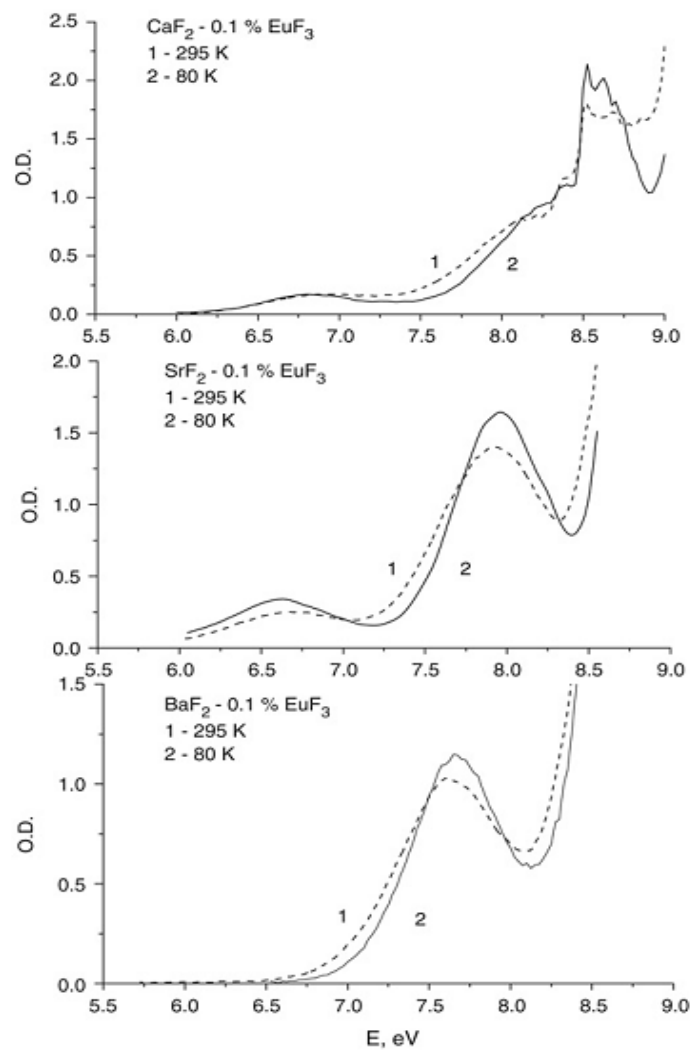


$\text{CaF}_2$  -1 моль.%  $\text{PrF}_3$

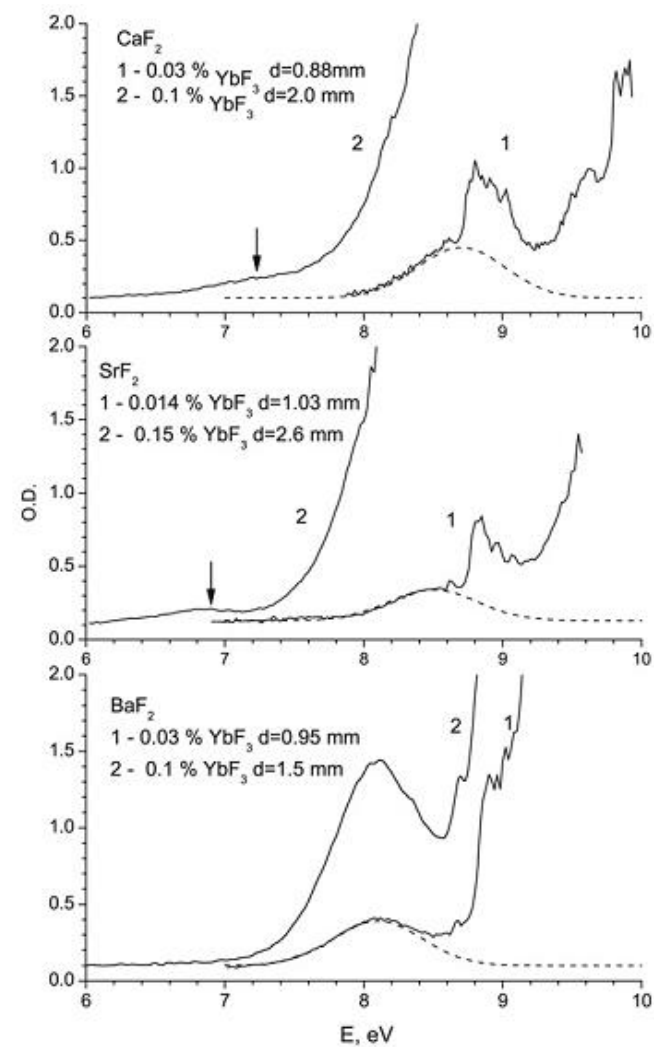
# Спектрофотометр L950, спектрометр LS55



# Спектры поглощения

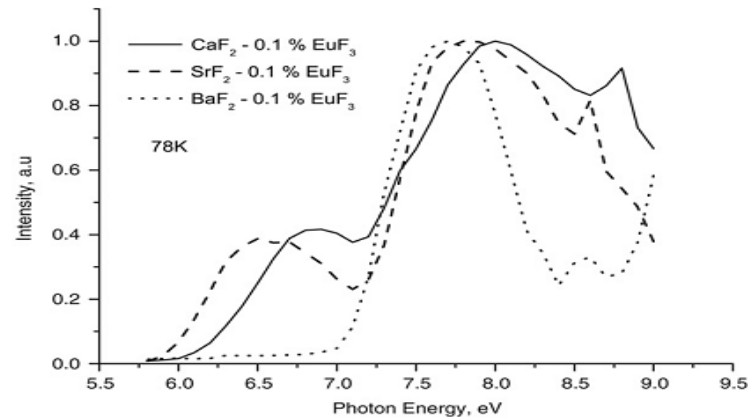


**Fig. 1.** Absorption spectra of CaF<sub>2</sub>, SrF<sub>2</sub> and BaF<sub>2</sub> crystal doped by EuF<sub>3</sub>.

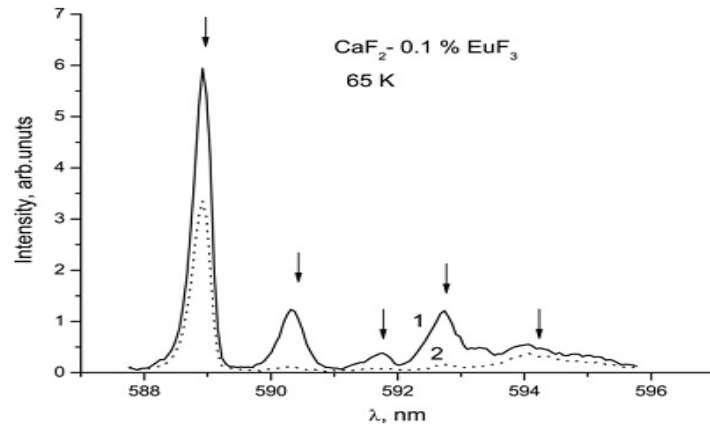


**Fig. 2.** Absorption spectra of CaF<sub>2</sub>, SrF<sub>2</sub> and BaF<sub>2</sub> crystal doped by YbF<sub>3</sub> at room temperature. Dashed curves show the fitted CT<sub>1</sub> absorption bands.

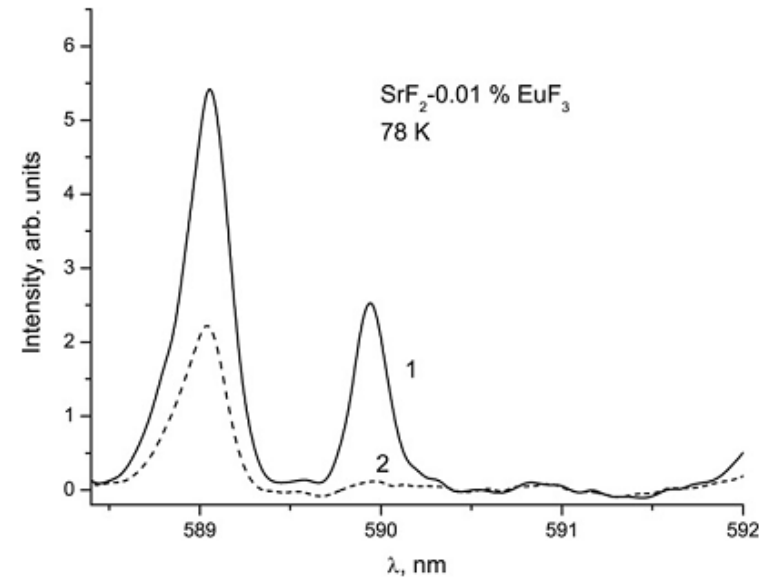
# Спектры возбуждения, свечения



**Fig. 3.** Excitation spectra of  $\text{CaF}_2$  crystal doped by 0.1 mol.%  $\text{EuF}_3$ . Emission of Eu ions was monitored at  $2.1 \text{ eV} \pm 0.1 \text{ eV}$  at 78 K.

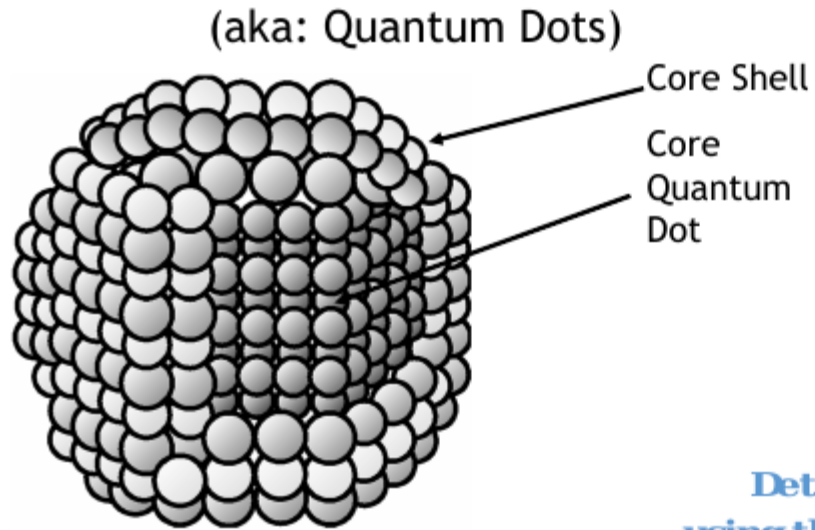


**Fig. 4.** Emission spectra of  $\text{CaF}_2$  crystal doped by 0.1 mol.%  $\text{EuF}_3$  in the region of  $^5\text{D}_0-^7\text{F}_1$  transitions at 78 K with vacuum ultraviolet excitation. Crystal was excited by unfiltered light from DDS30 lamp which was directly connected with  $\text{MgF}_2$  window of cryostat (curve 1) (excitation mainly into  $\text{CT}_1$  band), and separated from window by 5 mm air space (curve 2) (excitation into  $\text{CT}_2$  band).



**Fig. 5.** Emission spectra of  $\text{SrF}_2$  crystal doped by 0.01 mol.%  $\text{EuF}_3$  in the region of  $^5\text{D}_0-^7\text{F}_1$  transitions at 78 K with vacuum ultraviolet excitation into 7.8 or 6.7 eV absorption bands. Crystal was excited by unfiltered light from DDS30 lamp which was directly connected with  $\text{MgF}_2$  window of cryostat (curve 1), and separated from window by 5 mm air space (curve 2). Position of  $\text{C}_{4v}$ ,  $\text{O}_h$  lines were taken from paper [7,8].

# Квантово-размерные системы. Quantum confinement



Частица в квантовой яме

Red: bigger dots!  
Blue: smaller dots!

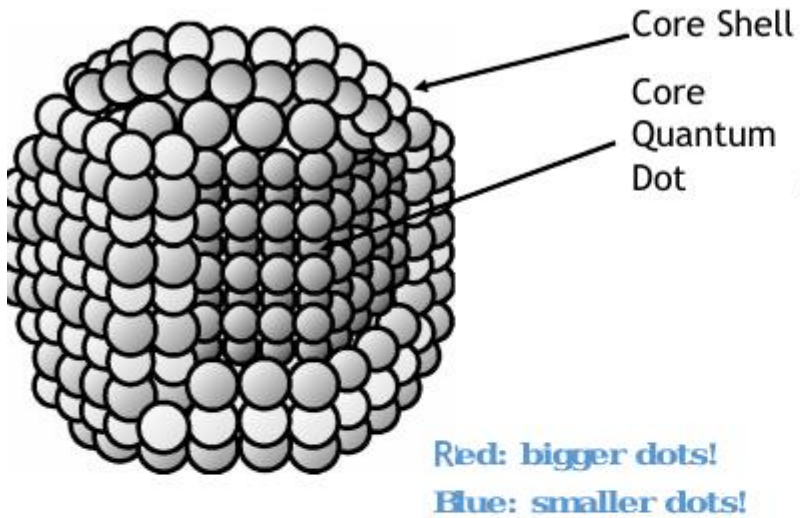
Determining QD energy  
using the Uncertainty Principle

$$\begin{aligned} \langle \Delta x^2 \rangle &\sim R^2 \\ \langle \Delta p^2 \rangle &\sim \left( \frac{\hbar^2}{2R} \right)^2 \\ \langle E \rangle &= \frac{\langle \Delta p^2 \rangle}{2m} \sim \frac{1}{R^2} \end{aligned}$$



# Квантово-размерные системы. Quantum confinement

(aka: Quantum Dots)



Частица в квантовой яме

Determining QD energy  
using the Schrödinger Equation

$$E_1 = n^2 E_1 \quad E_1 = \frac{\hbar^2 k_1^2}{2m} = \frac{\hbar^2 \pi^2}{2mL^2}$$

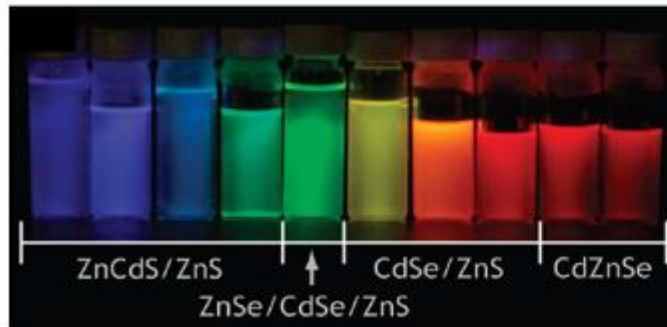
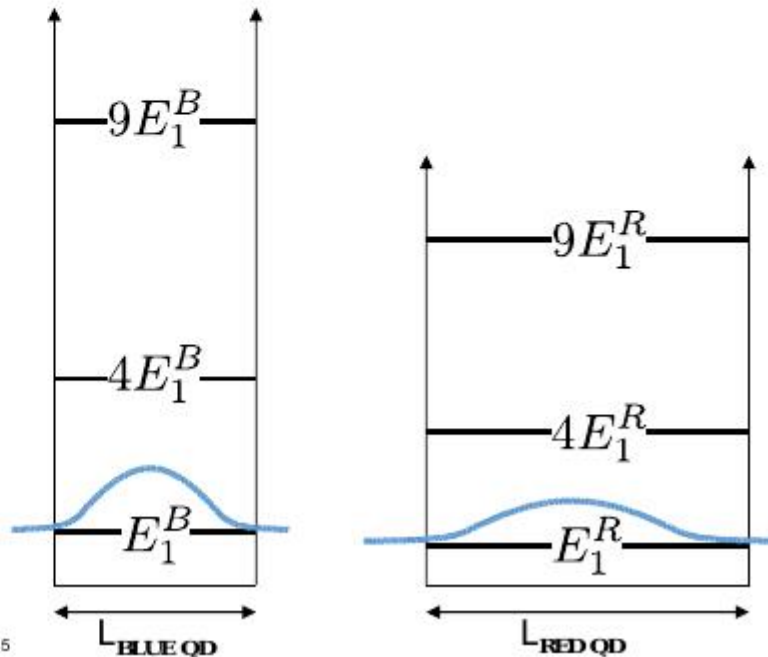
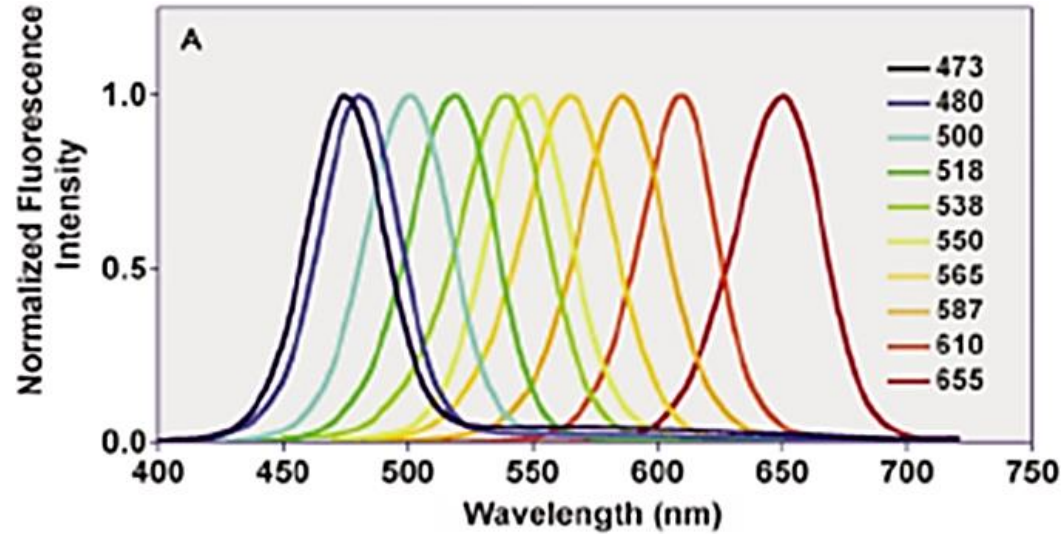


Photo by J. Halpert, Courtesy of M. Bawendi Group, EECS, MIT.

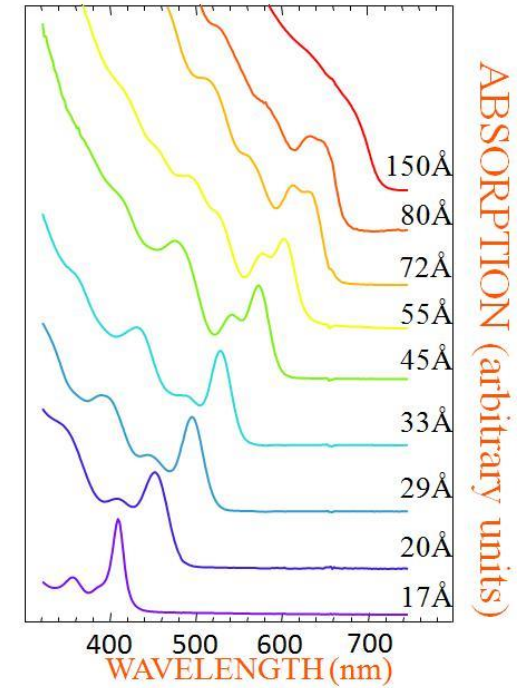
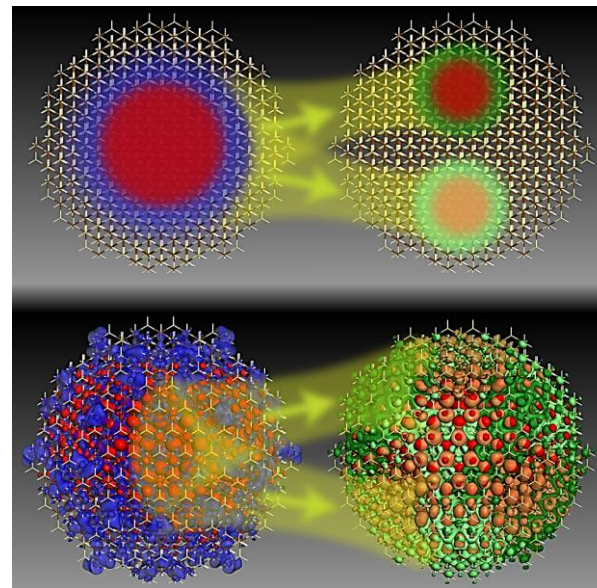


# Квантово-размерные системы. Квантовые ТОЧКИ

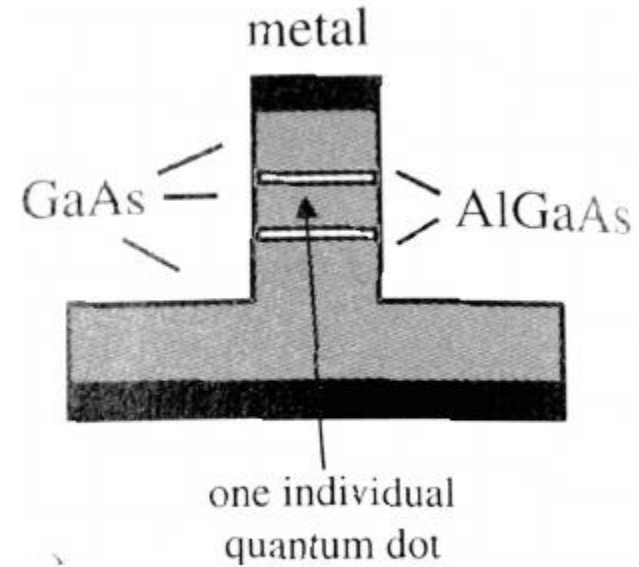
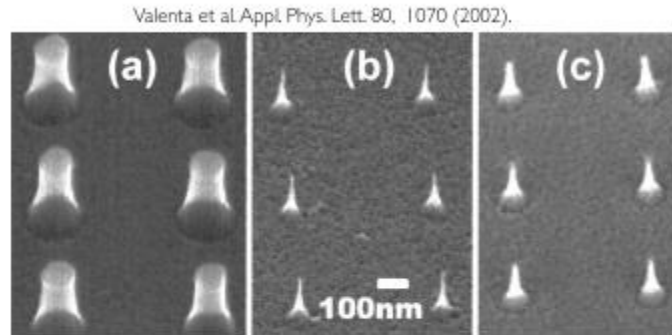


Quantum Confinement

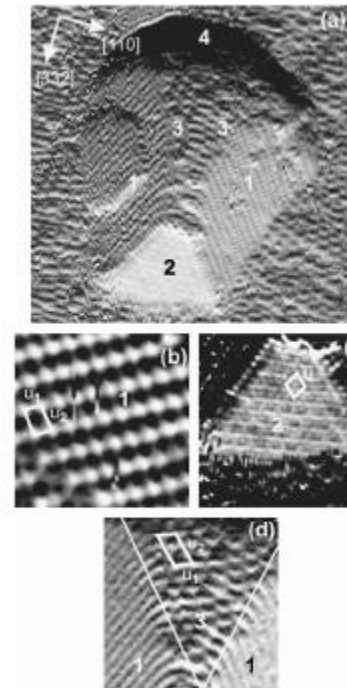
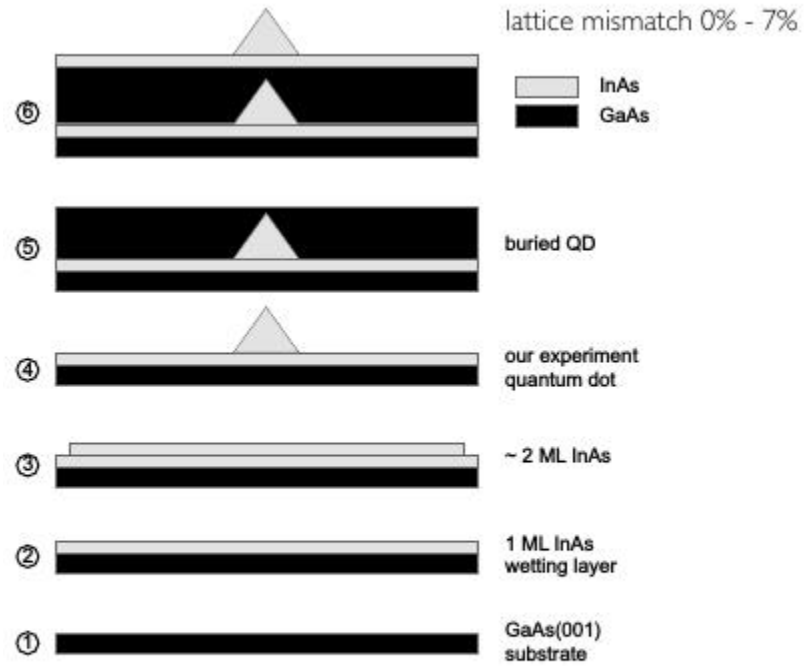
2 nm  $\xrightarrow{\text{CdSe}}$  8 nm



# Квантово-размерные системы.

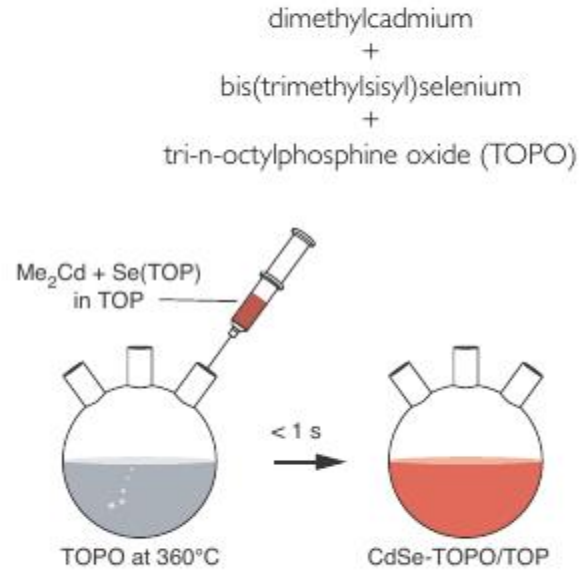


# Квантово-размерные системы.

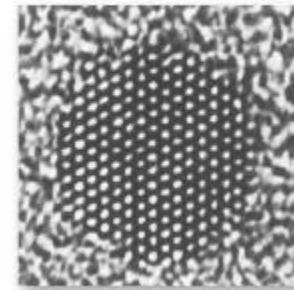
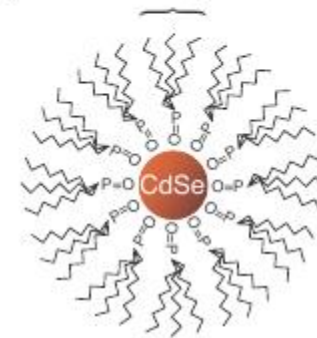


# Квантово-размерные системы.

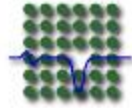
CdSe quantum dots



(b) TOPO ligand

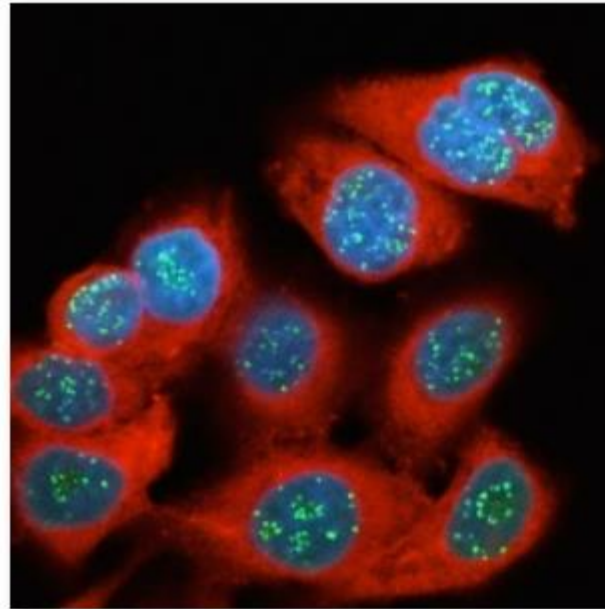


# Квантово-размерные системы. Применение



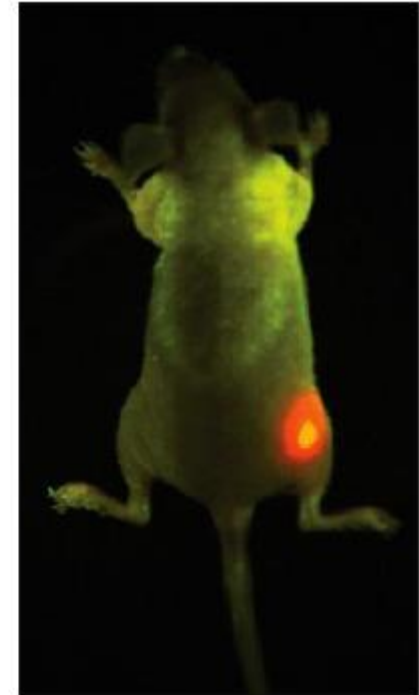
fluorescent markers

multi-color staining of different organelles in living cells



narrow emission spectra allow multicolor experiments

in-vivo observation of tumors

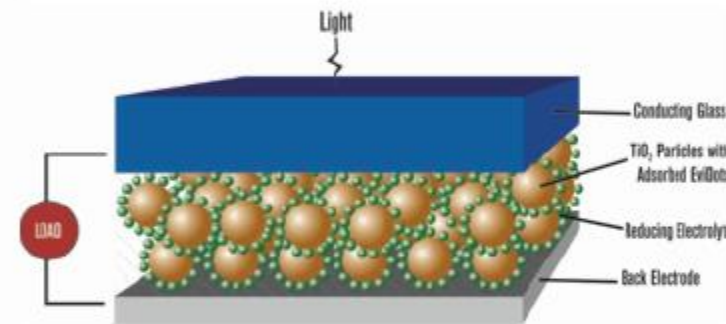
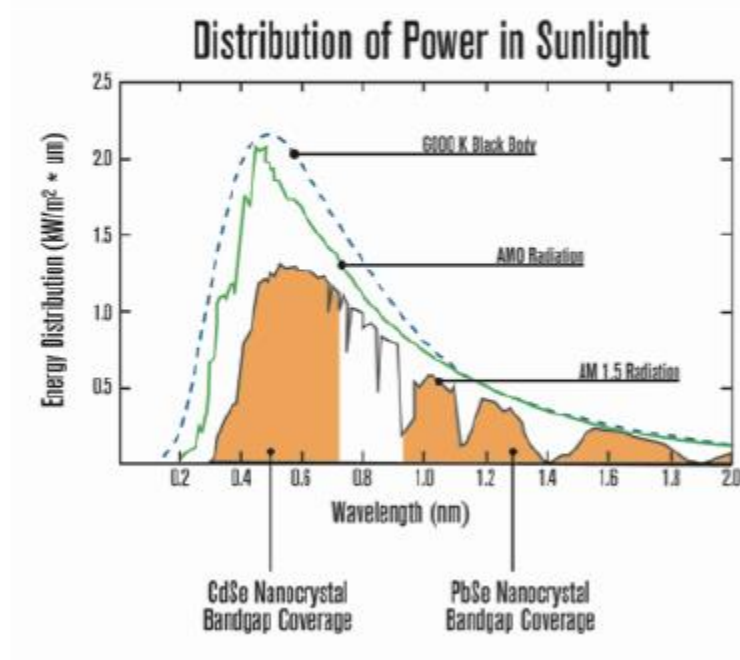


**Bull's-eye.** Red quantum dots injected into a live mouse mark the location of a tumor.

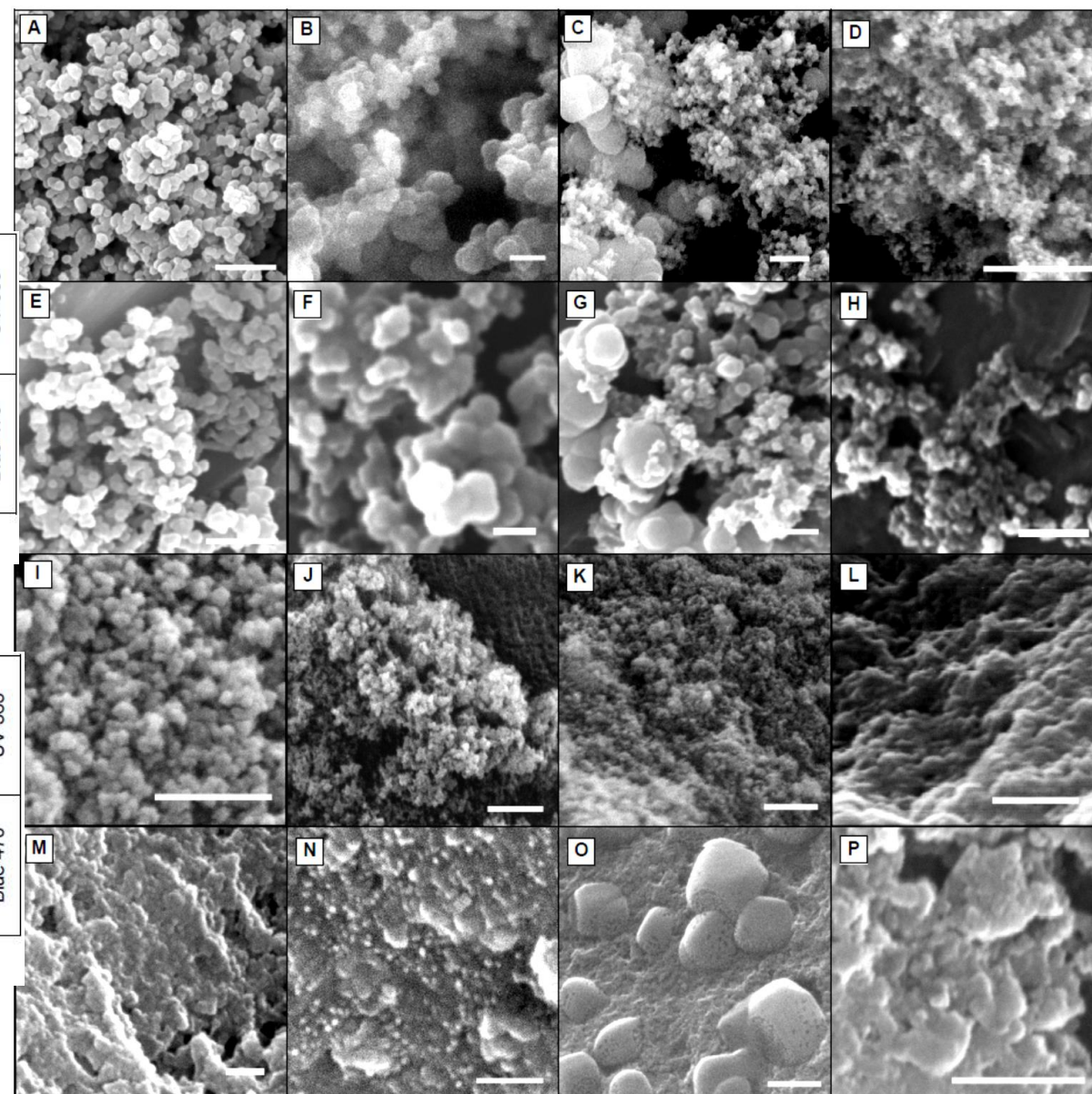
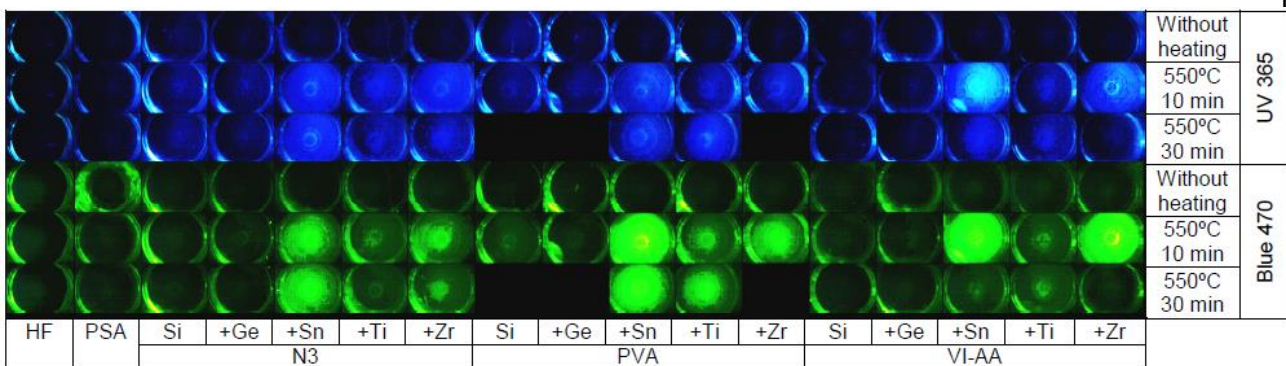
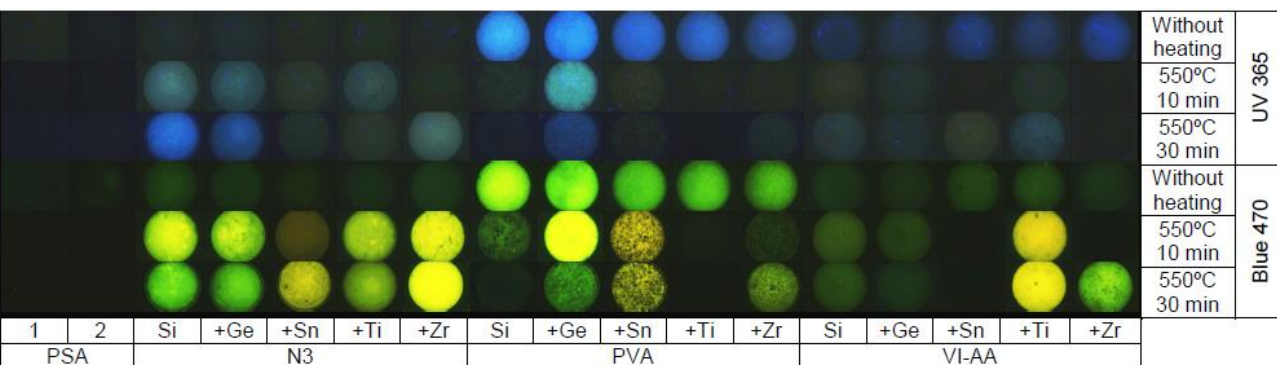
tuning to tissue extinction minimum

# Квантово-размерные системы. Применение

due to quantum size effect cover large spectral range  
large absorption cross section



# Квантово-размерные системы. Наночастицы кварца





# Квантово-размерные системы. Наночастицы кварца

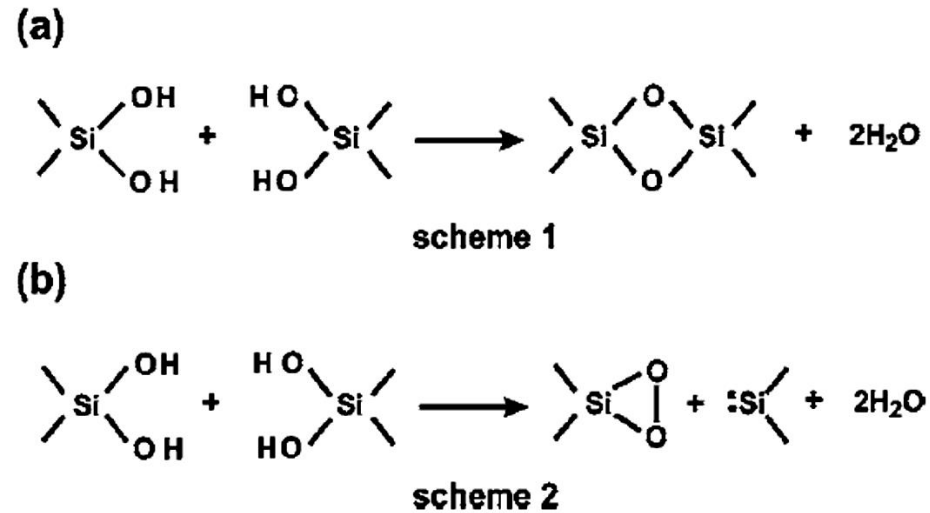
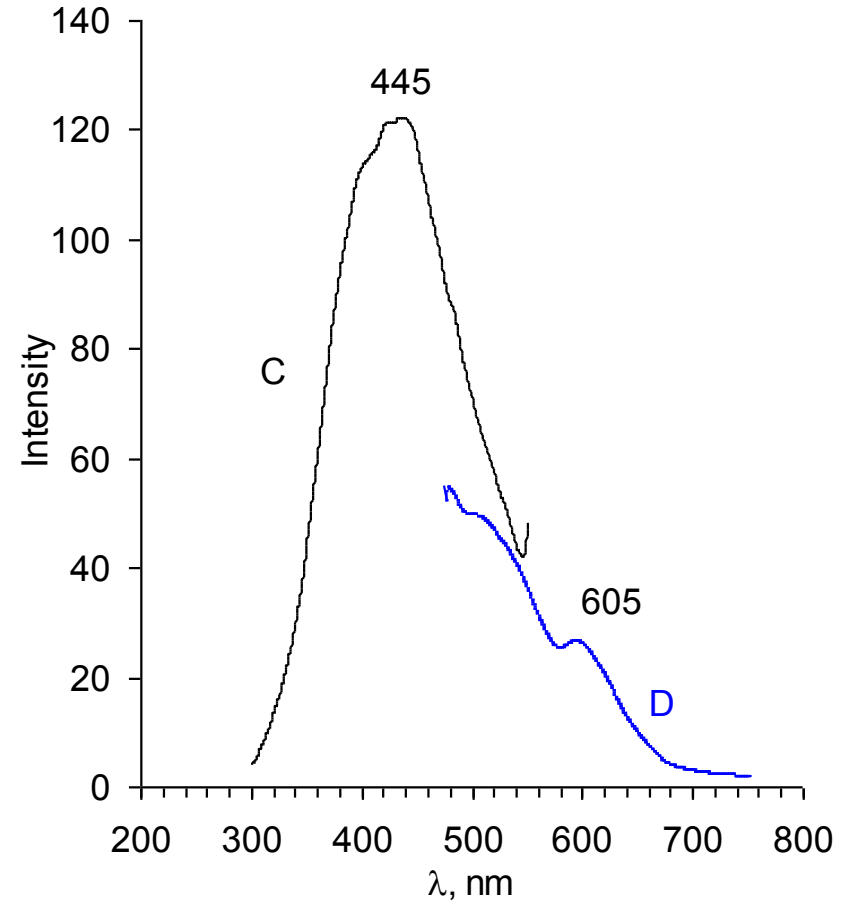
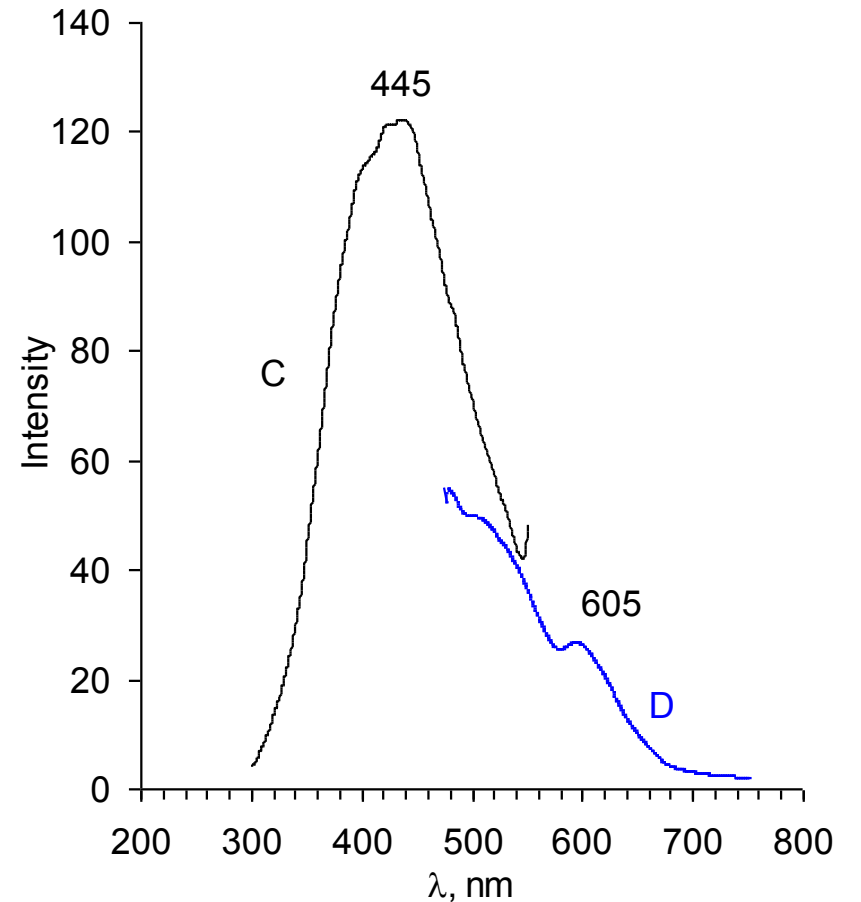
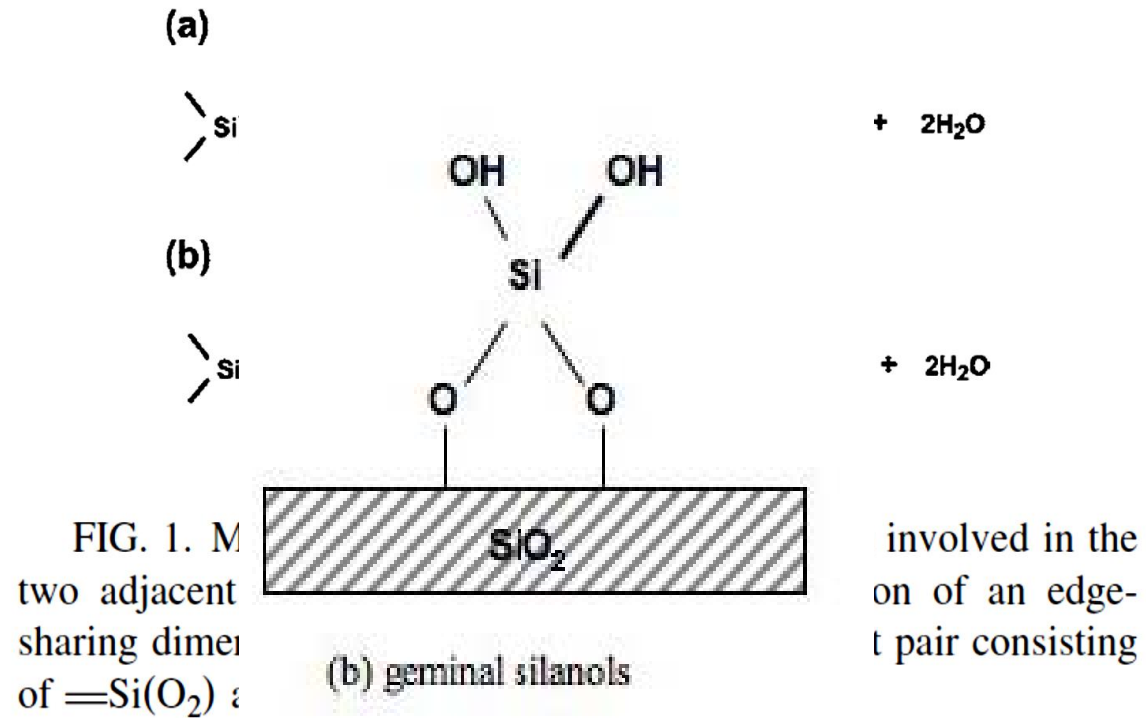


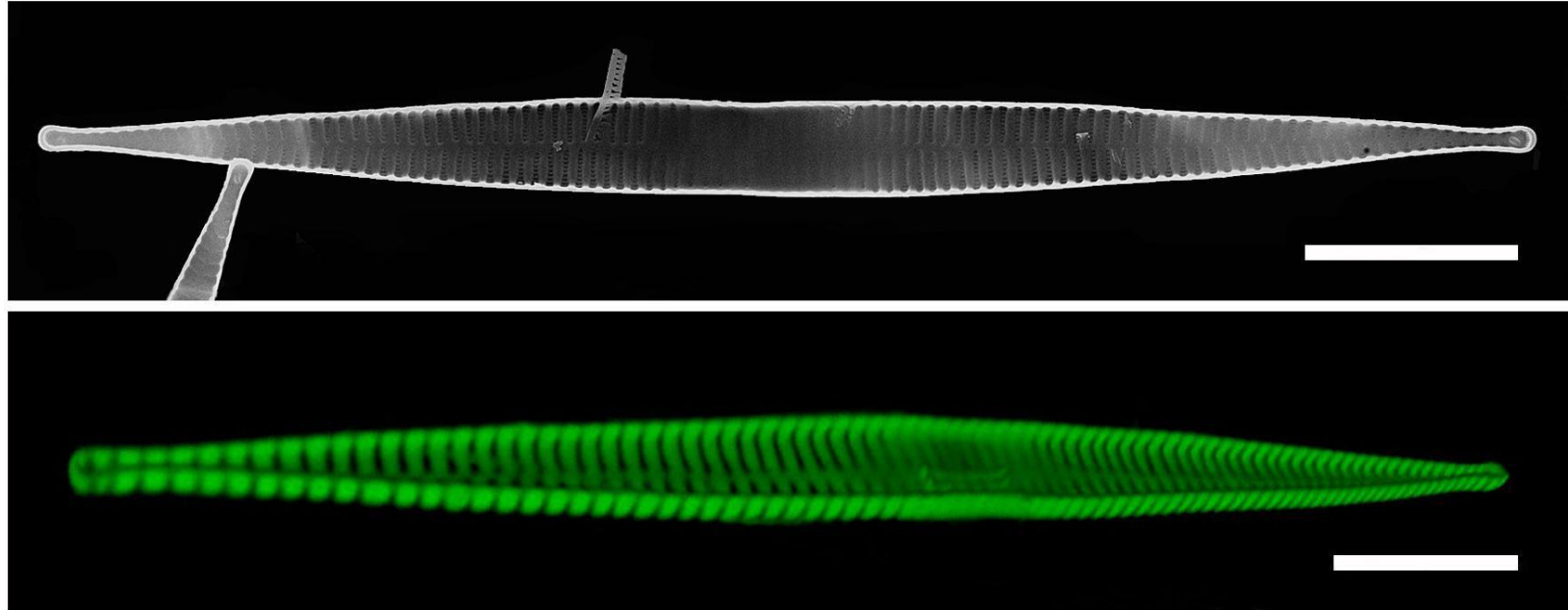
FIG. 1. Models of the dehydroxylation reaction involved in the two adjacent geminal silanol groups: (a) formation of an edge-sharing dimer (scheme 1), (b) formation of a defect pair consisting of  $=\text{Si}(\text{O}_2)$  and  $=\text{Si}:$  (scheme 2).



# Квантово-размерные системы. Наночастицы кварца



# Квантово-размерные системы. Применение



СЭМ и флуоресцентное изображение (конфокальный микроскоп) кремнистой створки *S. acus*, культивированной с добавлением 1 мкМ NBD-N2H. Масштаб - 10 мкм.